

Návrh číslicových systémů (INC)

Jiří Matoušek, Otto Fučík

Vysoké učení technické v Brně
Fakulta informačních technologií
Božetěchova 2, 612 66 Brno



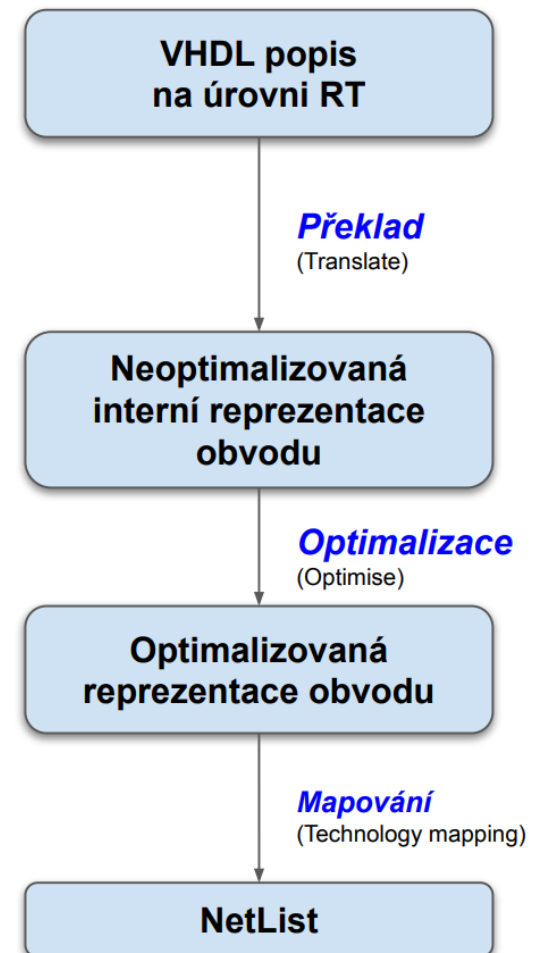
Použitá literatura

- N. Frištacký, M. Kolesár, J. Kolenička a J. Hlavatý: „Logické systémy“, SNTL Praha, 1986
M. Eysselt: „Logické systémy“, SNTL Praha, skriptum VUT v Brně, 1985
J. F. Wakerly: „Digital Design. Principles and Practices“, Prentice Hall, ISBN 0-13-769191-2, 2000
V. P. Nelson, H.T.Nagle, B.D.Carroll, J.D.Irwin: „Digital Logic Circuit Analysis & Design“, ISBN 0-13-463894-8, 1995
T.L.Floyd: „Digital Fundamentals“, Prentice Hall, ISBN 0-13-080850-4, 2000

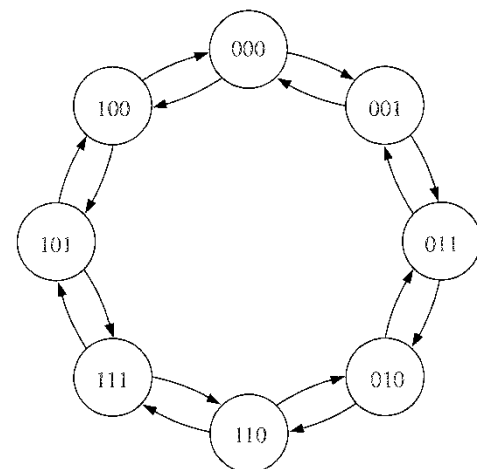
Mapování logických funkcí do cílové technologie

- Úvod
- Mapování na logické členy
- Mapování na kombinační moduly
- Mapování na programovatelná zařízení
- Syntéza sekvenčních obvodů

1. Převod HDL popisu obvodu do interní reprezentace syntézniho nástroje
2. Booleovské optimalizace interní reprezentace
3. **Mapování do cílové technologie**



- Čítač v Grayově kódu
- Graf přechodů
 - Vstup $Y=1$ – přechody po směru hodinových ručiček – čítání nahoru
 - Vstup $Y=0$ – přechody proti směru hodinových ručiček – čítání dolů
- Tabulka přechodů a slovník přechodů
 - Implementace pomocí J-K KO



Present State			Next State					
			$Y = 0$ (DOWN)			$Y = 1$ (UP)		
Q_2	Q_1	Q_0	Q_2	Q_1	Q_0	Q_2	Q_1	Q_0
0	0	0	1	0	0	0	0	1
0	0	1	0	0	0	0	1	1
0	1	1	0	0	1	0	1	0
0	1	0	0	1	1	1	1	0
1	1	0	0	1	0	1	1	1
1	1	1	1	1	0	1	0	1
1	0	1	1	1	1	1	0	0
1	0	0	1	0	1	0	0	0

Q_i	Q_{i+1}	J	K
0	0	0	X
0	1	1	X
1	0	X	1
1	1	X	0

- Excitační Karnaughovy mapy

$Q_2Q_1 \backslash Q_0Y$		00	01	11	10
00	1	0	0	0	
01	0	1	0	0	
11	X	X	X	X	
10	X	X	X	X	

J_2 map

Q_2Q_1		Q_0Y			
		00	01	11	10
00	0	0	1	0	
01	X	X	X	X	
11	X	X	X	X	
10	0	0	0	1	

J_1 map

Q_2Q_1 \ Q_0Y		Q_0Y			
		00	01	11	10
Q_2Q_1	00	0	1	X	X
	01	1	0	X	X
	11	0	1	X	X
	10	1	0	X	X

J_0 map

$Q_2Q_1 \backslash Q_0Y$		Q_0Y			
		00	01	11	10
Q_2Q_1	00	X	X	X	X
	01	X	X	X	X
	11	1	0	0	0
	10	0	1	0	0

K_2 map

Q_2Q_1 \ Q_0Y		00	01	11	10
		00	01	11	10
00	X	X	X	X	
01	0	0	0	1	
11	0	0	1	0	
10	X	X	X	X	

K_1 map

$Q_2Q_1 \backslash Q_0Y$		00	01	11	10
		00	01	11	10
00	X	X	0	1	
01	X	X	1	0	
11	X	X	0	1	
10	X	X	1	0	

K_0 map

- Excitační výrazy pro budicí vstupy KO

$$J_0 = Q_2Q_1Y + Q_2\bar{Q}_1\bar{Y} + \bar{Q}_2Q_1\bar{Y} + \bar{Q}_2\bar{Q}_1Y$$

$$J_1 = \bar{Q}_2Q_0Y + Q_2Q_0\bar{Y}$$

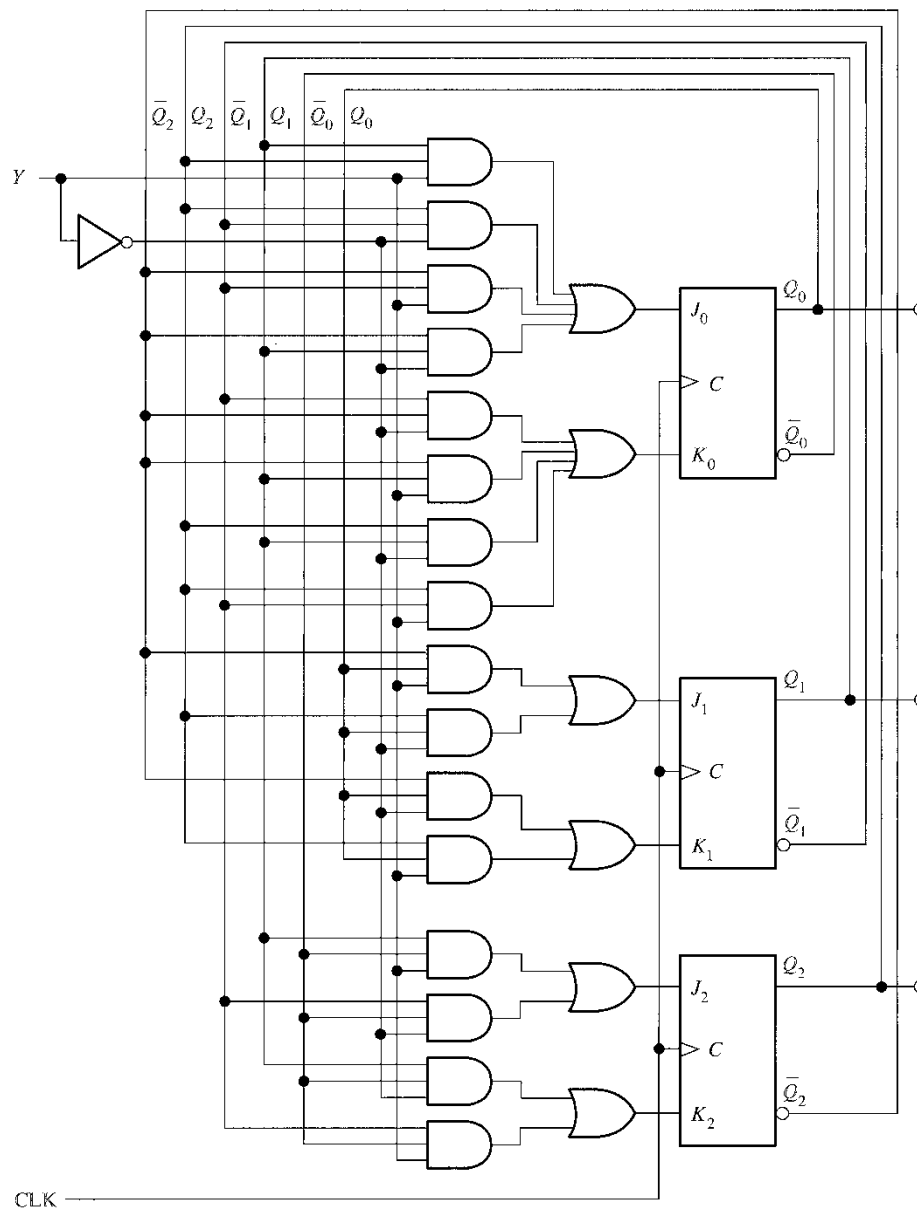
$$J_2 = Q_1\bar{Q}_0Y + \bar{Q}_1\bar{Q}_0\bar{Y}$$

$$K_0 = \bar{Q}_2\bar{Q}_1\bar{Y} + \bar{Q}_2Q_1Y + Q_2Q_1\bar{Y} + Q_2\bar{Q}_1Y$$

$$K_1 = \bar{Q}_2Q_0\bar{Y} + Q_2Q_0Y$$

$$K_2 = Q_1\bar{Q}_0\bar{Y} + \bar{Q}_1\bar{Q}_0Y$$

- Logické schéma
 - $Y=0$ – čítej dolů
 - $Y=1$ – čítej nahoru



- Úvod
- Mapování na logické členy
- Mapování na kombinační moduly
- Mapování na programovatelná zařízení
- Syntéza sekvenčních obvodů

- ÚNDF

$$f(x_1, x_2, \dots, x_n) = [\bar{x}_k \cdot f(x_1, x_{k-1}, 0, x_{k+1}, \dots, x_n)] + [x_k \cdot f(x_1, x_{k-1}, 1, x_{k+1}, \dots, x_n)]$$

- ÚNKF

$$f(x_1, x_2, \dots, x_n) = [\bar{x}_k + f(x_1, x_{k-1}, 1, x_{k+1}, \dots, x_n)] \cdot [x_k + f(x_1, x_{k-1}, 0, x_{k+1}, \dots, x_n)]$$

- Např. podle proměnné x_1 ____

- ÚNDF $f(x_1, x_2, \dots, x_n) = [\underline{x}_1 \cdot f(0, x_2, \dots, x_n)] + [x_1 \cdot f(1, x_2, \dots, x_n)]$

- ÚNKF $f(x_1, x_2, \dots, x_n) = [x_1 + f(1, x_2, \dots, x_n)] \cdot [x_1 + f(0, x_2, \dots, x_n)]$

- Platí dualita funkcí

$$f(x_1, x_2, \dots, x_n, 0, 1, +, \cdot) = f(x_1, x_2, \dots, x_n, 1, 0, \cdot, +)$$

- **Důsledek**

- Každou log. funkci libovolného počtu proměnných lze realizovat pomocí základních log. operací AND, OR a NOT dvou proměnných - superpozice logických funkcí

- Rozklad funkce dle proměnné x_1

$$\begin{aligned} f(x_1, x_2, x_3) &= x_1 \cdot x_2 \cdot \bar{x}_3 + \bar{x}_1 \cdot x_2 + \bar{x}_1 \cdot \bar{x}_2 \cdot x_3 \\ &= x_1 \cdot (x_2 \cdot \bar{x}_3) + \bar{x}_1 \cdot (x_2 + \bar{x}_2 \cdot x_3) \end{aligned}$$

$$f(x_1 = 1) = x_2 \cdot \bar{x}_3$$

$$f(x_1 = 0) = x_2 + \bar{x}_2 \cdot x_3$$

- Rozklad funkce dle proměnné x_2

$$\begin{aligned} f(x_1, x_2, x_3) &= x_1 \cdot x_2 \cdot \bar{x}_3 + \bar{x}_1 \cdot x_2 + \bar{x}_1 \cdot \bar{x}_2 \cdot x_3 \\ &= x_2 \cdot (x_1 \cdot \bar{x}_3 + \bar{x}_1) + \bar{x}_2 \cdot (\bar{x}_1 \cdot x_3) \end{aligned}$$

$$f(x_2 = 1) = x_1 \cdot \bar{x}_3 + \bar{x}_1$$

$$f(x_2 = 0) = \bar{x}_1 \cdot x_3$$

- Rozklad funkce dle proměnné x_3

$$\begin{aligned} f(x_1, x_2, x_3) &= x_1 \cdot x_2 \cdot \bar{x}_3 + \bar{x}_1 \cdot x_2 + \bar{x}_1 \cdot \bar{x}_2 \cdot x_3 \\ &= x_1 \cdot x_2 \cdot \bar{x}_3 + \bar{x}_1 \cdot x_2 \cdot x_3 + \bar{x}_1 \cdot x_2 \cdot \bar{x}_3 + \bar{x}_1 \cdot \bar{x}_2 \cdot x_3 \\ &= x_3 \cdot (\bar{x}_1 \cdot \bar{x}_2 + \bar{x}_1 \cdot x_2) + \bar{x}_3 \cdot (x_1 \cdot x_2 + \bar{x}_1 \cdot x_2) \end{aligned}$$

$$f(x_3 = 1) = \bar{x}_1 \cdot \bar{x}_2 + \bar{x}_1 \cdot x_2$$

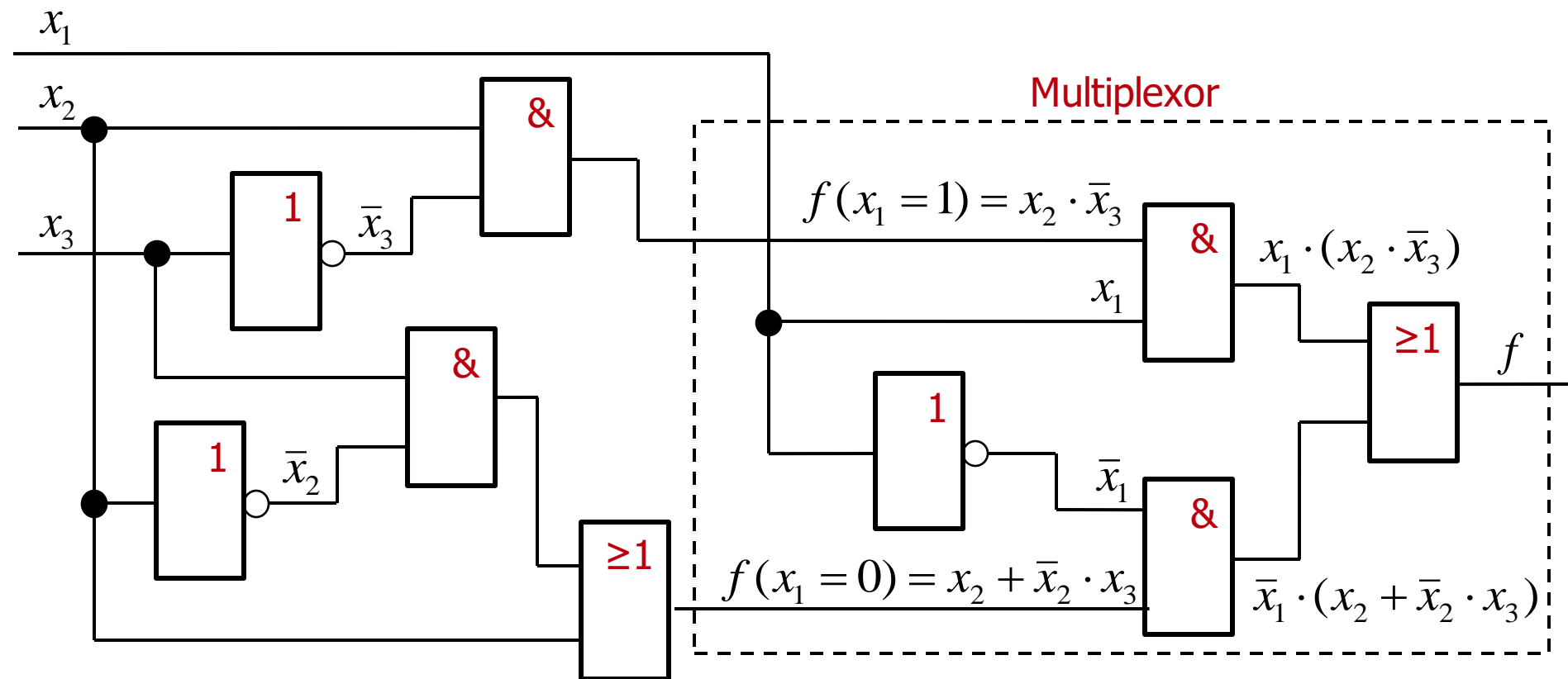
$$f(x_3 = 0) = x_1 \cdot x_2 + \bar{x}_1 \cdot x_2$$

- Rozklad funkce dle proměnné x_1

$$\begin{aligned} f(x_1, x_2, x_3) &= x_1 \cdot x_2 \cdot \bar{x}_3 + \bar{x}_1 \cdot x_2 + \bar{x}_1 \cdot \bar{x}_2 \cdot x_3 \\ &= x_1 \cdot (x_2 \cdot \bar{x}_3) + \bar{x}_1 \cdot (x_2 + \bar{x}_2 \cdot x_3) \end{aligned}$$

$$f(x_1 = 1) = x_2 \cdot \bar{x}_3$$

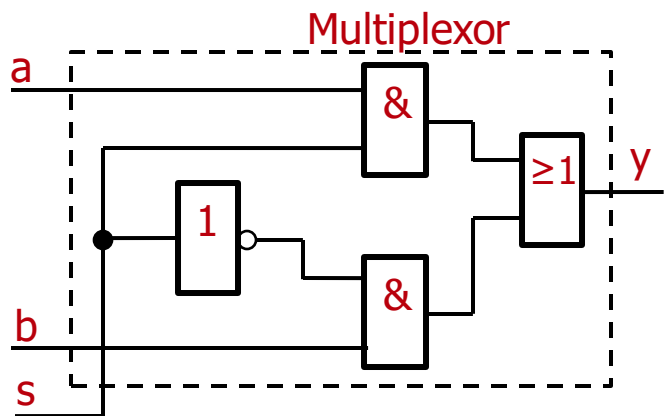
$$f(x_1 = 0) = x_2 + \bar{x}_2 \cdot x_3$$



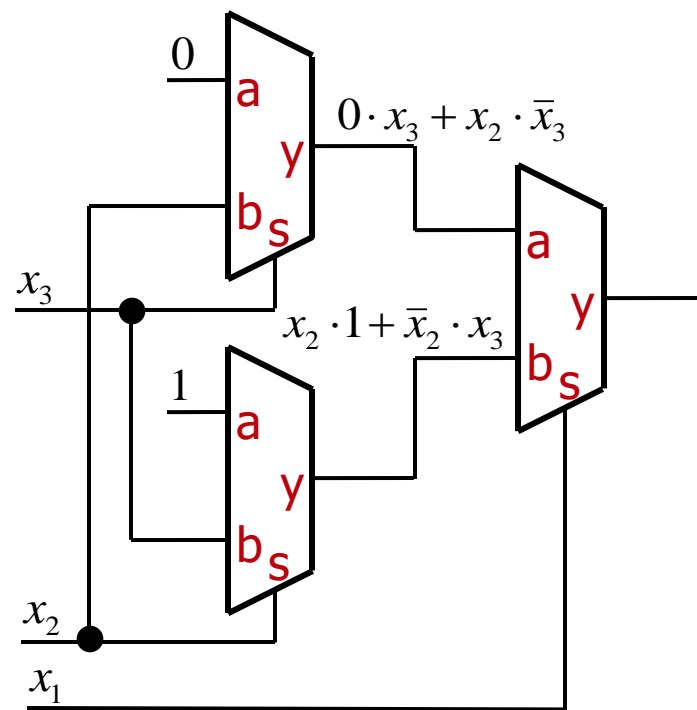
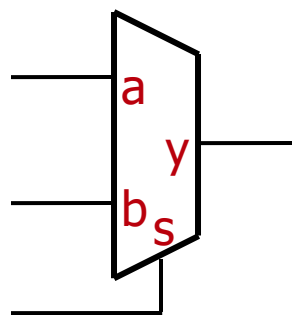
• Důsledek

- Každá log. funkce může být implementována pouze pomocí multiplexorů
- Poznámka: zvyšuje se zpoždění obvodu

• Příklad



\equiv

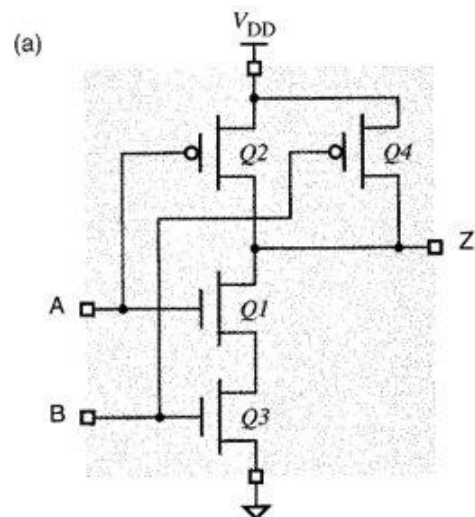


$$\begin{aligned} f(x_1, x_2, x_3) &= x_1 \cdot x_2 \cdot \bar{x}_3 + \bar{x}_1 \cdot x_2 + \bar{x}_1 \cdot \bar{x}_2 \cdot x_3 \\ &= x_1 \cdot (x_2 \cdot \bar{x}_3) + \bar{x}_1 \cdot (x_2 + \bar{x}_2 \cdot x_3) \\ &= x_1 \cdot (0 \cdot x_3 + x_2 \cdot \bar{x}_3) + \bar{x}_1 \cdot (x_2 \cdot 1 + \bar{x}_2 \cdot x_3) \end{aligned}$$

- Využívá pouze log. funkci NAND – $(a \cdot b)'$, $a \uparrow b$, $\overline{a \cdot b}$
 - Lze ukázat, že pomocí funkce NAND lze realizovat základní log. členy a tedy i veškeré logické funkce
- Vede na efektivní realizaci v technologii CMOS

Hradlo NAND

(a) Schéma, (b) Pravdivostní tabulka, (c) Symbol

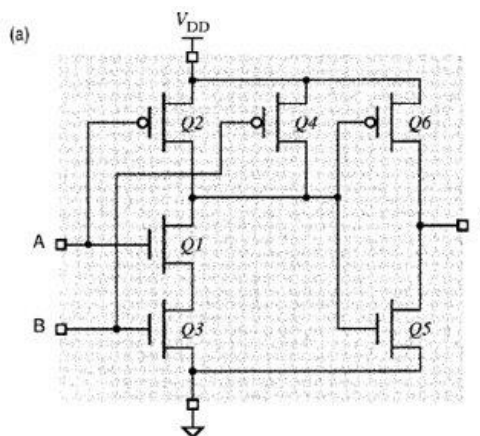


(b)

A	B	Q1	Q2	Q3	Q4	Z
L	L	off	on	off	on	H
L	H	off	on	on	off	H
H	L	on	off	off	on	H
H	H	on	off	on	off	L

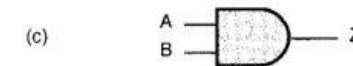


Hradlo AND



(b)

A	B	Q1	Q2	Q3	Q4	Q5	Q6	Z
L	L	off	on	off	on	on	off	L
L	H	off	on	on	off	on	off	L
H	L	on	off	off	on	on	off	L
H	H	on	off	on	off	off	on	H



- Platí zákon komutativní $(a \cdot b)' = (b \cdot a)'$
- Neplatí zákon asociativní $((a \cdot b)' \cdot c)' \neq (a \cdot (b \cdot c)')'$

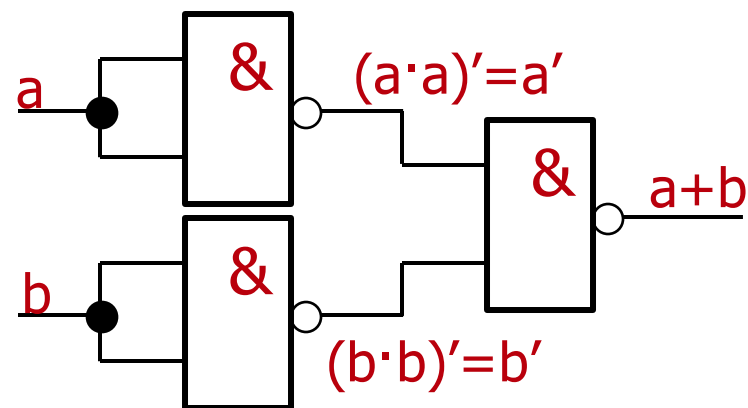
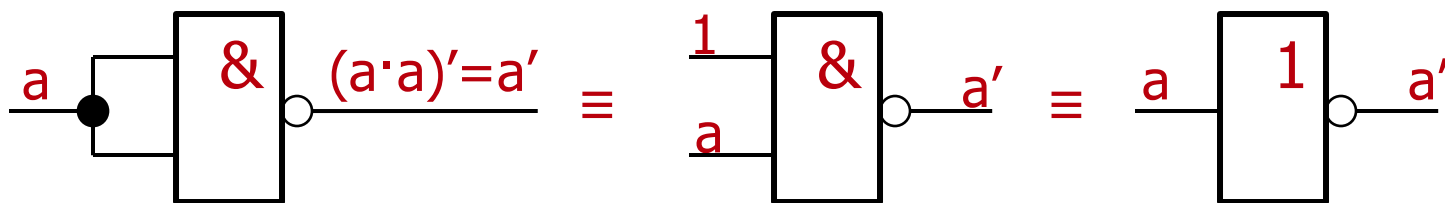
$$(a \cdot a)' = a'$$

$$(a \cdot 0)' = 1$$

$$(a \cdot 1)' = a'$$

$$(a \cdot b)' \cdot 1 = ((a \cdot b)')' = a \cdot b$$

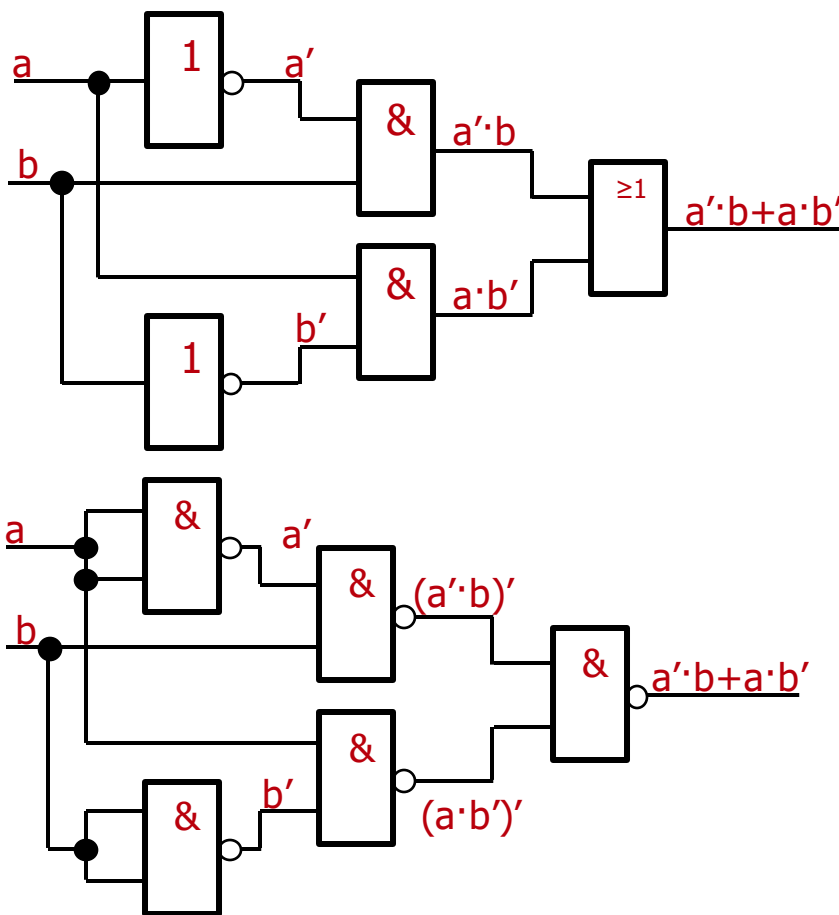
$$((a \cdot a)' \cdot (b \cdot b)')' = (a' \cdot b')' = a + b$$



- Využití teorémů:
 - Involuce (dvojitá negace)
 - de Morganovy zákony
- Pro implementaci výrazu stačí pouze členy NAND
- Příklad

$$\begin{aligned}
 & \bar{a} \cdot b + a \cdot \bar{b} \\
 &= \overline{\overline{\bar{a} \cdot b + a \cdot \bar{b}}} \\
 &= \overline{\overline{\bar{a} \cdot b} \cdot \overline{a \cdot \bar{b}}} \\
 &= \overline{\bar{a} \cdot b \cdot a \cdot \bar{b}}
 \end{aligned}$$

$$\begin{aligned}
 \overline{\overline{a}} &= a \\
 \overline{a + b} &= \bar{a} \cdot \bar{b}
 \end{aligned}$$



- Využívá pouze log. funkci NOR – $(a+b)'$, $a \downarrow b$
 - Lze ukázat, že pomocí funkce NOR lze realizovat základní log. členy a tedy i veškeré logické funkce
- Vede na efektivní realizaci v technologii CMOS
 - Hradlo NOR vs. hradlo OR viz hradlo NAND vs. hradlo AND

- Platí zákon komutativní $(a + b)' = (b + a)'$
- Neplatí zákon asociativní $((a + b)' + c)' \neq (a + (b + c))'$

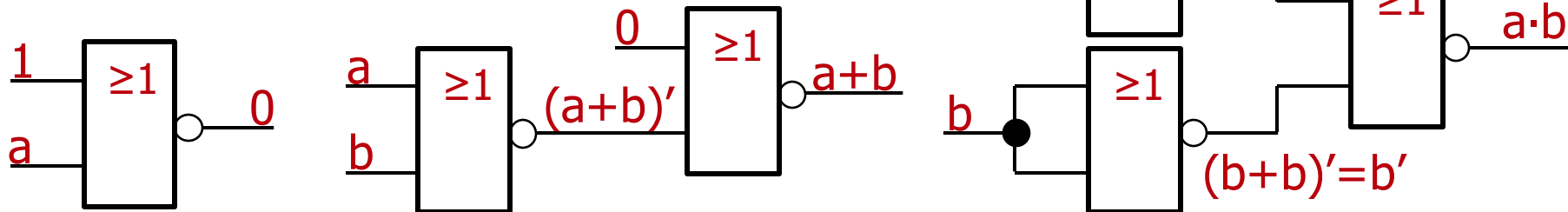
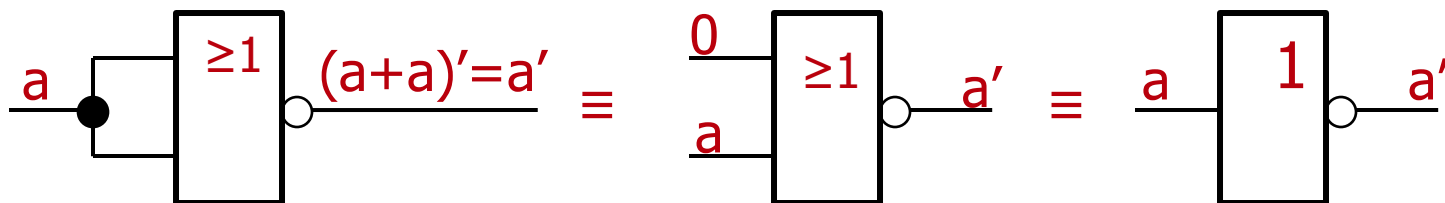
$$(a + a)' = a'$$

$$(a + 0)' = a'$$

$$(a + 1)' = 0$$

$$(a + b)' + 0 = ((a + b)')' = a + b$$

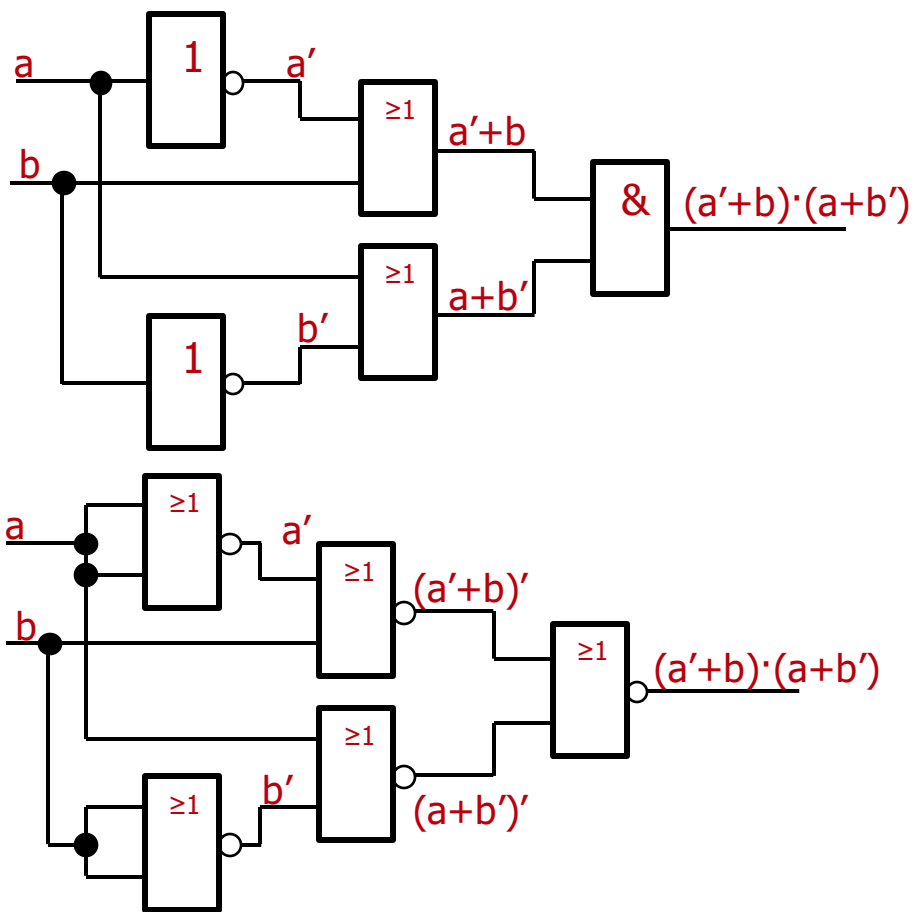
$$((a + a)' + (b + b)')' = (a' + b')' = a \cdot b$$



- Využití teorémů:
 - Involuce (dvojitá negace)
 - de Morganovy zákony
- Pro implementaci výrazu stačí pouze člen NOR
- Příklad

$$\begin{aligned}
 & (\bar{a} + b) \cdot (a + \bar{b}) \\
 & \overline{\overline{(\bar{a} + b) \cdot (a + \bar{b})}} \\
 & \overline{\overline{\bar{a} + b} \cdot \overline{a + \bar{b}}} \\
 & \overline{\bar{a} + b + a + \bar{b}}
 \end{aligned}$$

$$\begin{aligned}
 \overline{\bar{a}} &= a \\
 \overline{a \cdot b} &= \bar{a} + \bar{b}
 \end{aligned}$$

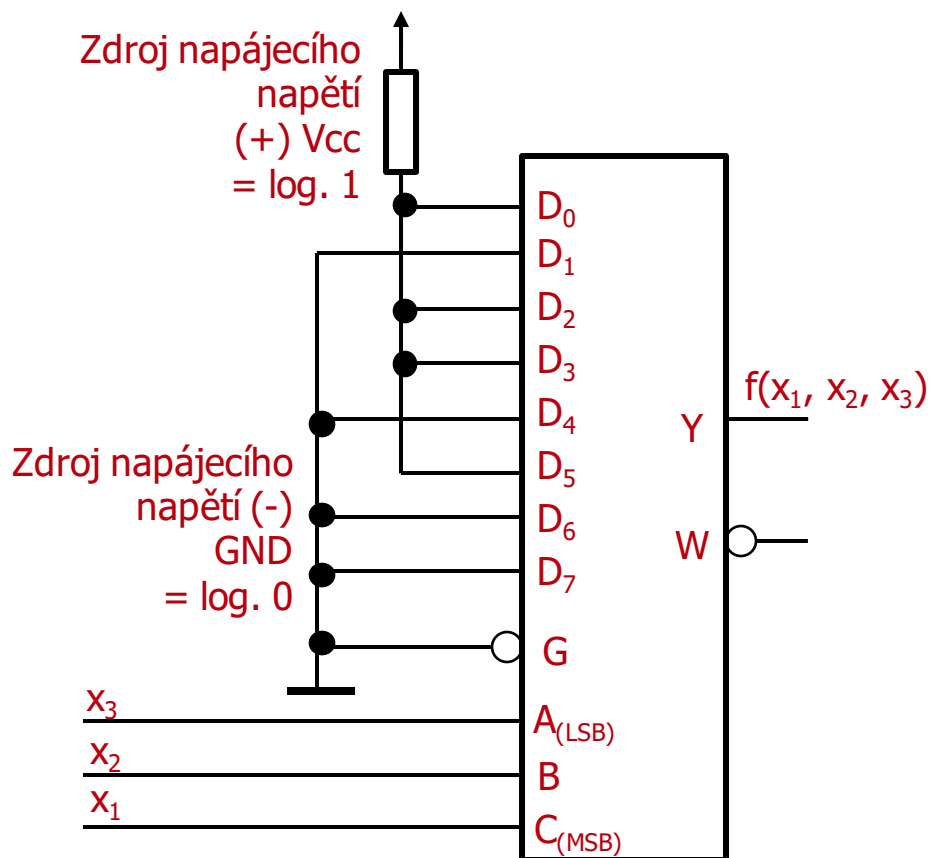


- Úvod
- Mapování na logické členy
- **Mapování na kombinační moduly**
- Mapování na programovatelná zařízení
- Syntéza sekvenčních obvodů

- Příklad: Implementace funkce
 - Pravdivostní tabulka
 - Realizace multiplexorem 8-1

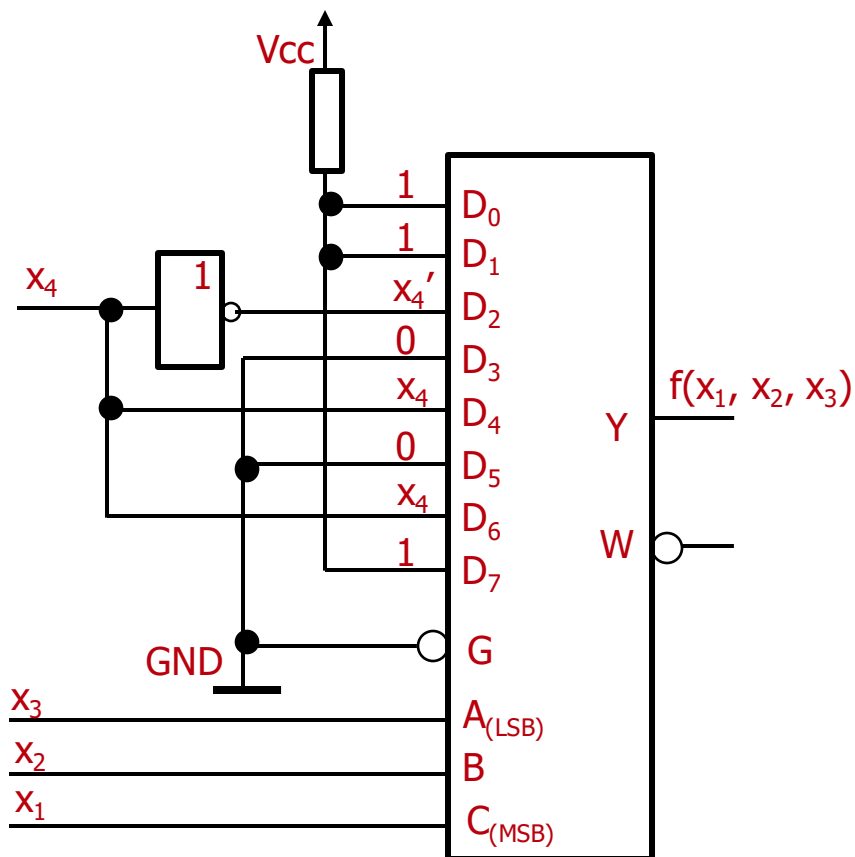
$$f(x_1, x_2, x_3) = \sum m(0, 2, 3, 5)$$

Vstupy		Výstup
C, B, A	Data	Y
x_1, x_2, x_3		$f(x_1, x_2, x_3)$
000	$D_0=1$	1
001	$D_1=0$	0
010	$D_2=1$	1
011	$D_3=1$	1
100	$D_4=0$	0
101	$D_5=1$	1
110	$D_6=0$	0
111	$D_7=0$	0



• Příklad

- Implementace funkce $f(x_1, x_2, x_3, x_4) = \sum m(0,1,2,3,4,9,13,14,15)$
- Realizace multiplexorem 8-1 a invertorem

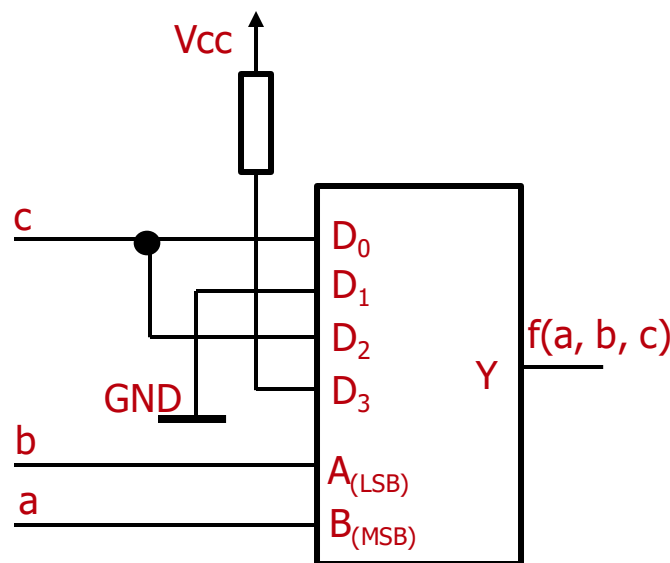


	C, B, A	x ₄	f	=	Y
	x ₁ , x ₂ , x ₃				f(x ₁ , x ₂ , x ₃ , x ₄)
0 1	000 000	0 1	1 1	1	D ₀ =1
2 3	001 001	0 1	1 1	1	D ₁ =1
4 5	010 010	0 1	1 0	x ₄ '	D ₂ =x ₄ '
6 7	011 011	0 1	0 0	0	D ₃ =0
8 9	100 100	0 1	0 1	x ₄	D ₄ =x ₄
10 11	101 101	0 1	0 0	0	D ₅ =0
12 13	110 110	0 1	0 1	x ₄	D ₆ =x ₄
14 15	111 111	0 1	1 1	1	D ₇ =1

- Příklad – verze 1
 - Implementace funkce
 - Pravdivostní tabulka
 - Realizace multiplexorem 4-1

$$\begin{aligned}
 f(a, b, c) &= a \cdot b + \bar{b} \cdot c \\
 &= a \cdot b \cdot 1 + 1 \cdot \bar{b} \cdot c \\
 &= a \cdot b \cdot (c + \bar{c}) + (a + \bar{a}) \cdot \bar{b} \cdot c \\
 &= a \cdot b \cdot c + a \cdot b \cdot \bar{c} + a \cdot \bar{b} \cdot c + \bar{a} \cdot \bar{b} \cdot c
 \end{aligned}$$

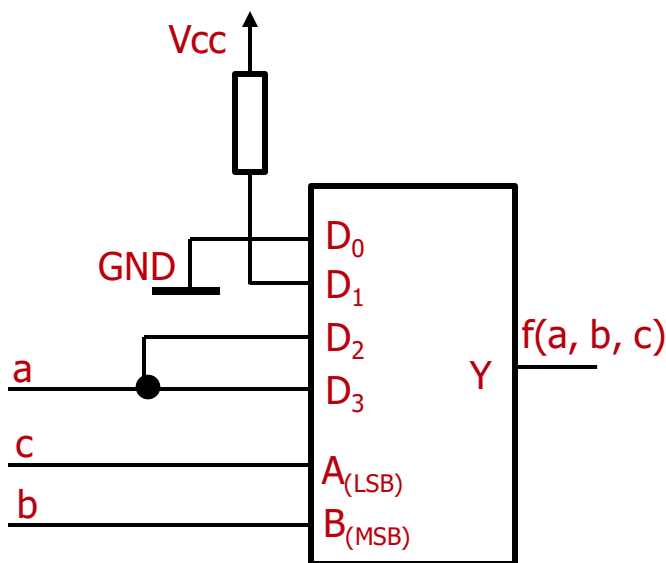
Vstupy		Výstup
B, A	Data	Y
a, b		f(a, b, c)
00	D ₀ =c	c
01	D ₁ =0	0
10	D ₂ =c	c
11	D ₃ =1	1



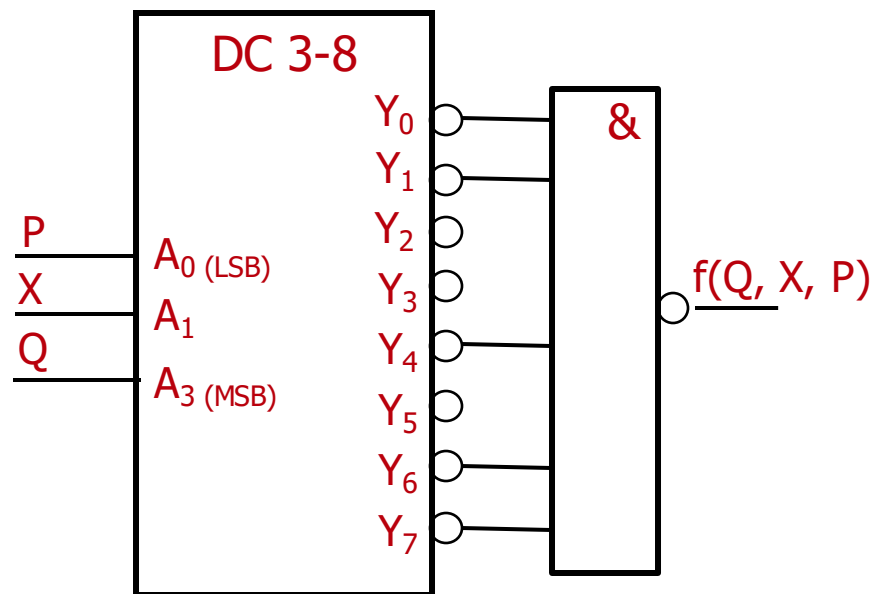
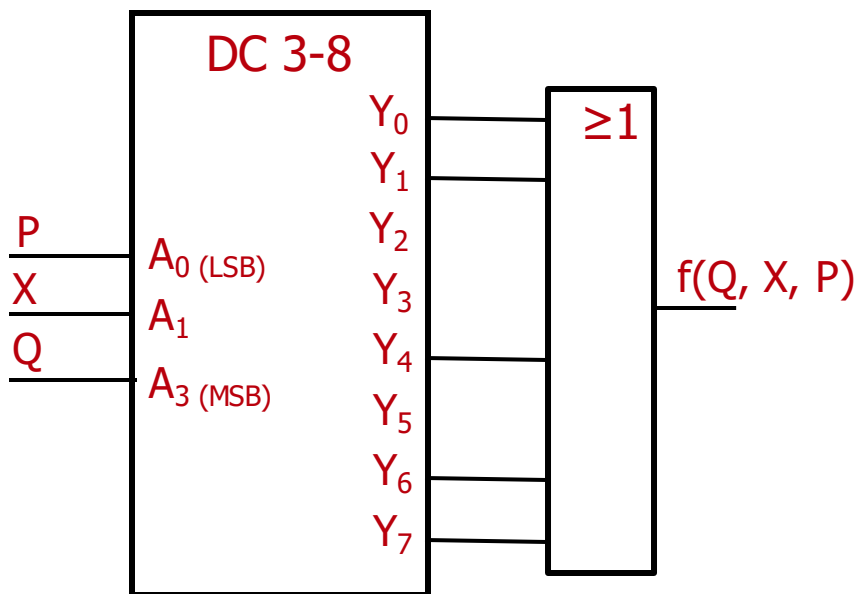
- Příklad – verze 2
 - Implementace funkce
 - Pravdivostní tabulka
 - Realizace multiplexorem 4-1

$$\begin{aligned}
 f(a, b, c) &= a \cdot b + \bar{b} \cdot c \\
 &= a \cdot b \cdot 1 + 1 \cdot \bar{b} \cdot c \\
 &= a \cdot b \cdot (c + \bar{c}) + (a + \bar{a}) \cdot \bar{b} \cdot c \\
 &= a \cdot b \cdot c + a \cdot b \cdot \bar{c} + a \cdot \bar{b} \cdot c + \bar{a} \cdot \bar{b} \cdot c
 \end{aligned}$$

Vstupy		Výstup
B, A	Data	Y
b, c		f(a, b, c)
00	D ₀ =0	0
01	D ₁ =1	1
10	D ₂ =a	a
11	D ₃ =a	a

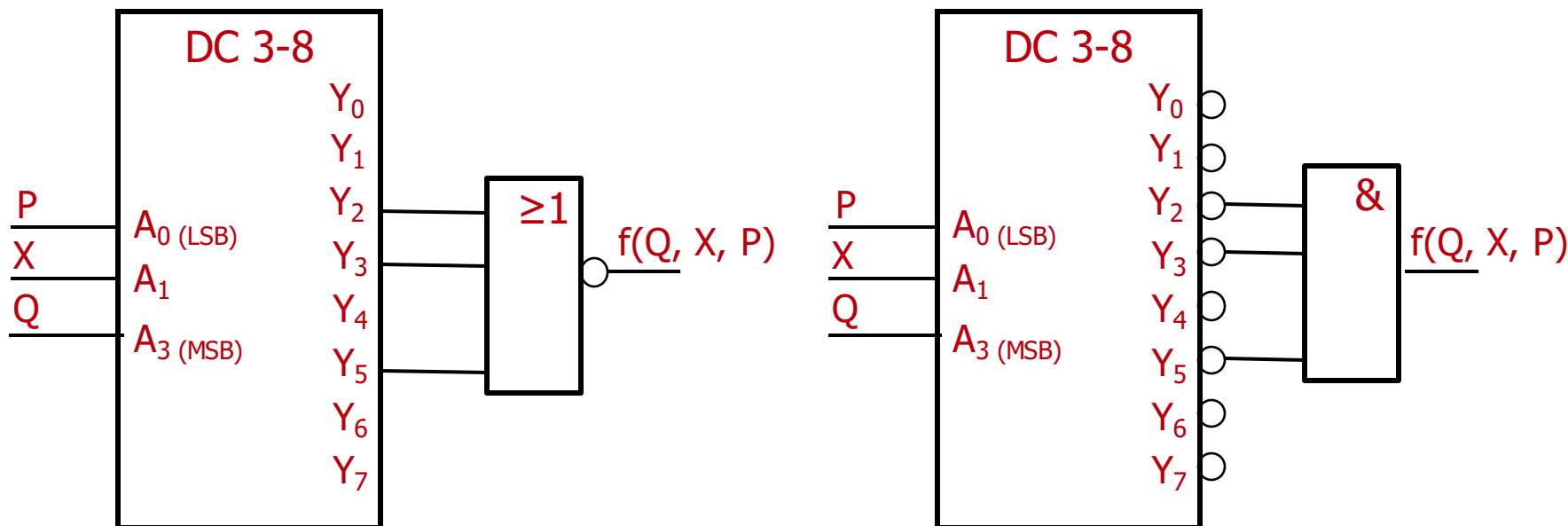


- Implementace funkce $f(Q, X, P) = \sum m(0,1,4,6,7)$
 - S výstupem aktivním v jedničce pomocí tříbitového dekodéru s výstupy aktivními v log. 1 a log. členu OR
 - S výstupem aktivním v nule pomocí tříbitového dekodéru s výstupy aktivními v nule a log. členu NAND (DeMorganův zákon)



- Implementace funkce $f(Q, X, P) = \sum m(0,1,4,6,7)$
 - S výstupem aktivním v jedničce pomocí tříbitového dekodéru s výstupy aktivními v nule a log. členu NOR
 - S výstupem aktivním v nule pomocí tříbitového dekodéru s výstupy aktivními v nule a log. členu AND (de Morganův zákon)

$$f(Q, X, P) = \sum m(0,1,4,6,7) = \prod M(2,3,5)$$



• Příklad

- Implementace funkcí pomocí dekodéru DC 4-16 s povolovacími vstupy aktivními v nule

$$f_1(z, y, x, w) = \sum m(1, 9, 12, 15)$$

$$f_2(z, y, x, w)$$

$$= \sum m(0, 1, 2, 3, 4, 5, 7, 8, 10, 11, 13, 14)$$

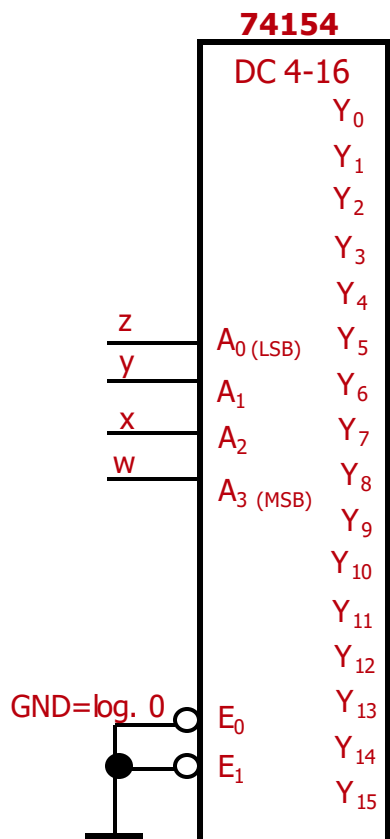
$$= \prod M(6, 9)$$

$$f_2(z, y, x, w)$$

$$= \prod M(6, 9)$$

$$f_1(z, y, x, w)$$

$$= \sum m(1, 9, 12, 15)$$



• Definice

- $n \geq 3$...počet logických proměnných x_0, \dots, x_n
- Všem logickým proměnným je přiřazena váha $w_i = 1$
- Prahová funkce nabývá hodnoty 1, pokud alespoň nadpoloviční většina vstupních proměnných je rovna 1
- = symetrická prahová funkce lichého řádu s prahem $T = \frac{n+1}{2}$

$$M_n = 1 \Leftrightarrow \sum_{i=1}^n x_i \geq \frac{n+1}{2}$$

- Řád majority - počet proměnných

• Příklad

- $w_a = 1, w_b = 1, w_c = 1$
- $N = 1 + 1 + 1 = 3$
- $T = 2$

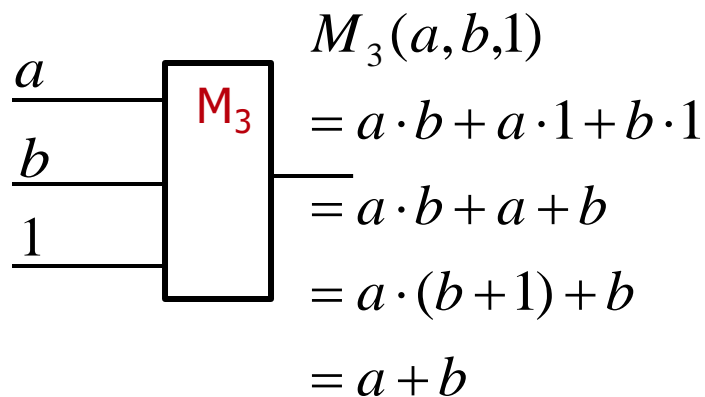
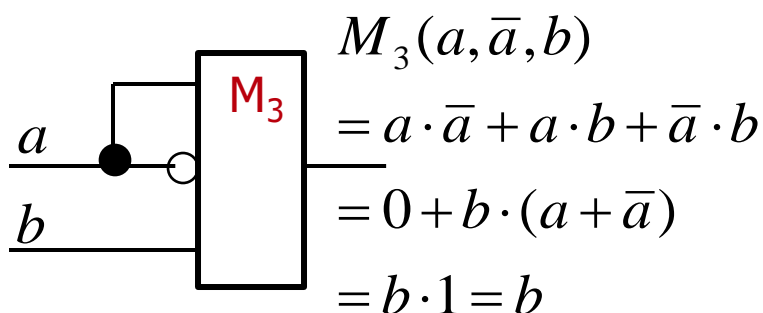
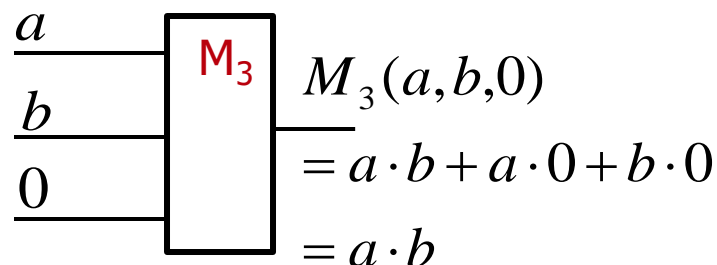
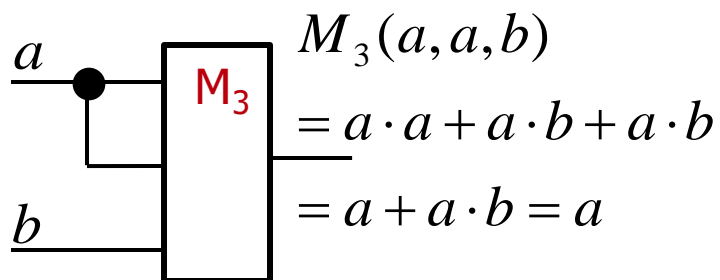
$$M_3(a, b, c)$$

$$= \bar{a} \cdot b \cdot c + a \cdot \bar{b} \cdot c + a \cdot b \cdot \bar{c} + a \cdot b \cdot c$$

$$= a \cdot b + a \cdot c + b \cdot c$$

a	b	c	Σx_i	$M_3 = 1 \Leftrightarrow \Sigma(w_i \cdot x_i) \geq 2$
0	0	0	$1 \cdot 0 + 1 \cdot 0 + 1 \cdot 0 = 0$	0
0	0	1	$1 \cdot 0 + 1 \cdot 0 + 1 \cdot 1 = 1$	0
0	1	0	$1 \cdot 0 + 1 \cdot 1 + 1 \cdot 0 = 1$	0
0	1	1	$1 \cdot 0 + 1 \cdot 1 + 1 \cdot 1 = 2$	1
1	0	0	$1 \cdot 1 + 1 \cdot 0 + 1 \cdot 0 = 1$	0
1	0	1	$1 \cdot 1 + 1 \cdot 0 + 1 \cdot 1 = 2$	1
1	1	0	$1 \cdot 1 + 1 \cdot 1 + 1 \cdot 0 = 2$	1
1	1	1	$1 \cdot 1 + 1 \cdot 1 + 1 \cdot 1 = 3$	1

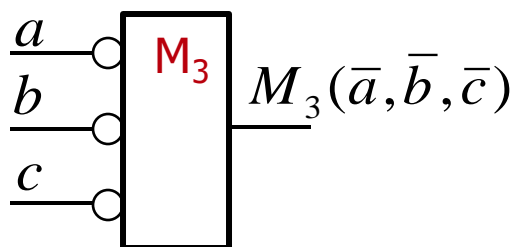
- Příklady



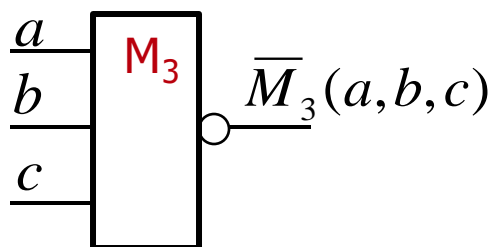
- Příklad

$$M_3(a, b, c) = \bar{a} \cdot b \cdot c + a \cdot \bar{b} \cdot c + a \cdot b \cdot \bar{c} + a \cdot b \cdot c$$

$$M_3(\bar{a}, \bar{b}, \bar{c}) = a \cdot \bar{b} \cdot \bar{c} + \bar{a} \cdot b \cdot \bar{c} + \bar{a} \cdot \bar{b} \cdot c + \bar{a} \cdot \bar{b} \cdot \bar{c} = \bar{M}_3(a, b, c)$$



=

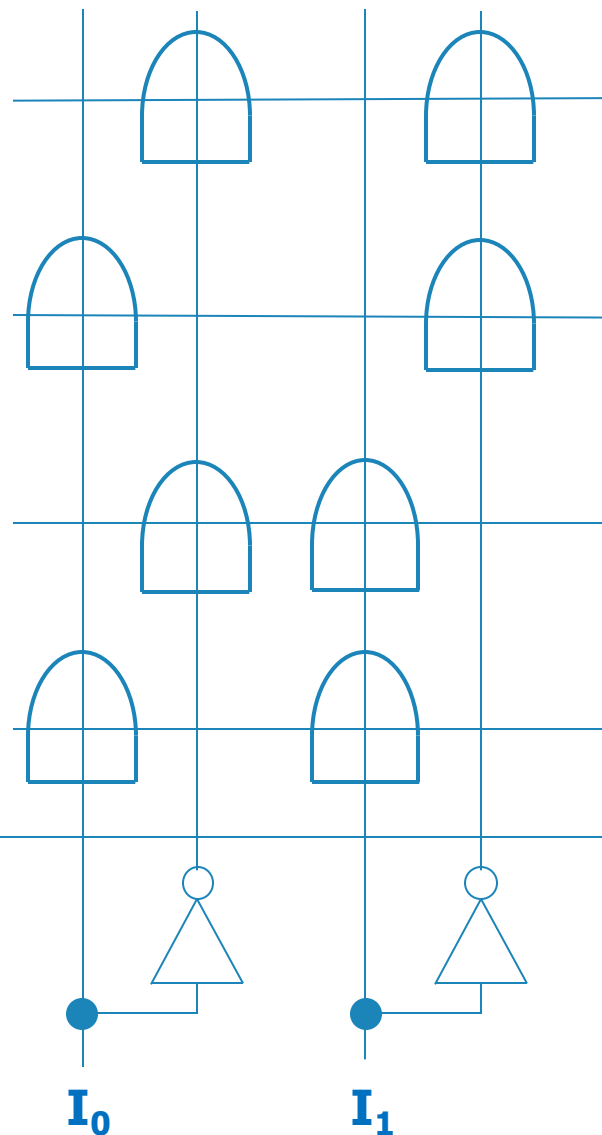


$$\sum m(3, 5, 6, 7) = \prod M(0, 1, 2, 4)$$

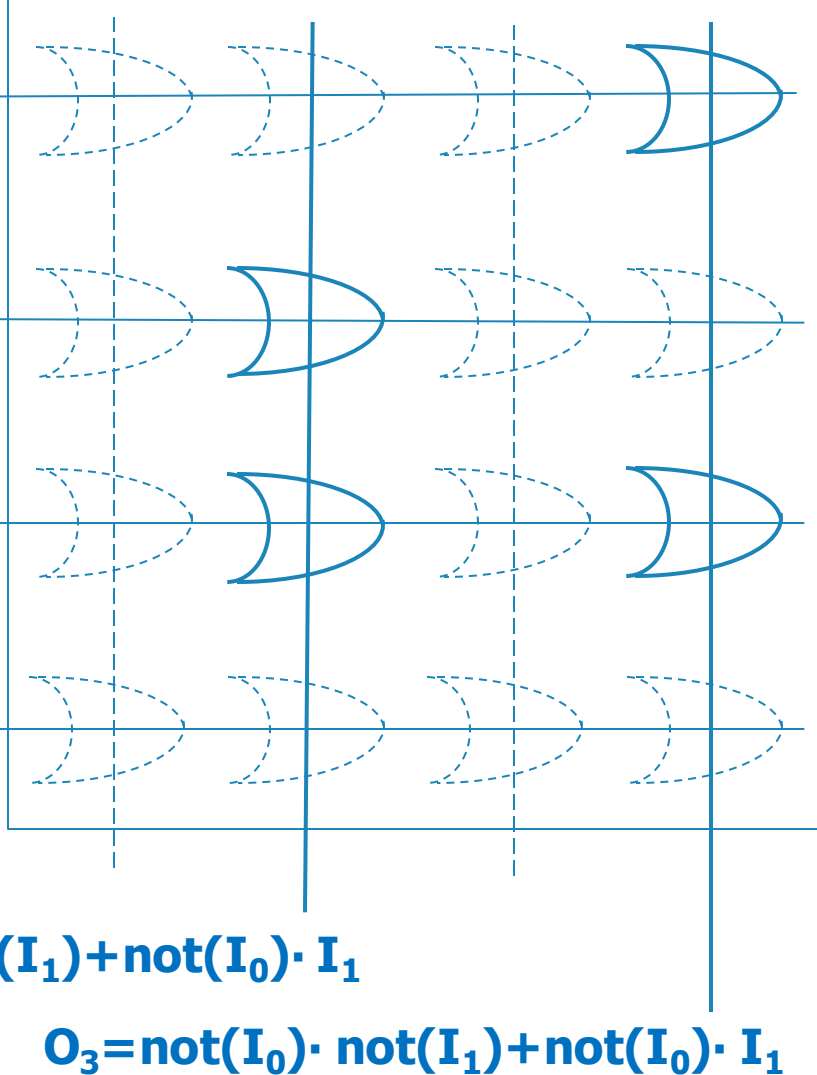
a	b	c	$\sum x_i$	$M_3 = 1 \Leftrightarrow \sum(w_i \cdot x_i) \geq 2$
0	0	0	$1 \cdot 0 + 1 \cdot 0 + 1 \cdot 0 = 0$	0
0	0	1	$1 \cdot 0 + 1 \cdot 0 + 1 \cdot 1 = 1$	0
0	1	0	$1 \cdot 0 + 1 \cdot 1 + 1 \cdot 0 = 1$	0
0	1	1	$1 \cdot 0 + 1 \cdot 1 + 1 \cdot 1 = 2$	1
1	0	0	$1 \cdot 1 + 1 \cdot 0 + 1 \cdot 0 = 1$	0
1	0	1	$1 \cdot 1 + 1 \cdot 0 + 1 \cdot 1 = 2$	1
1	1	0	$1 \cdot 1 + 1 \cdot 1 + 1 \cdot 0 = 2$	1
1	1	1	$1 \cdot 1 + 1 \cdot 1 + 1 \cdot 1 = 3$	1

- Úvod
- Mapování na logické členy
- Mapování na kombinační moduly
- **Mapování na programovatelná zařízení**
- Syntéza sekvenčních obvodů

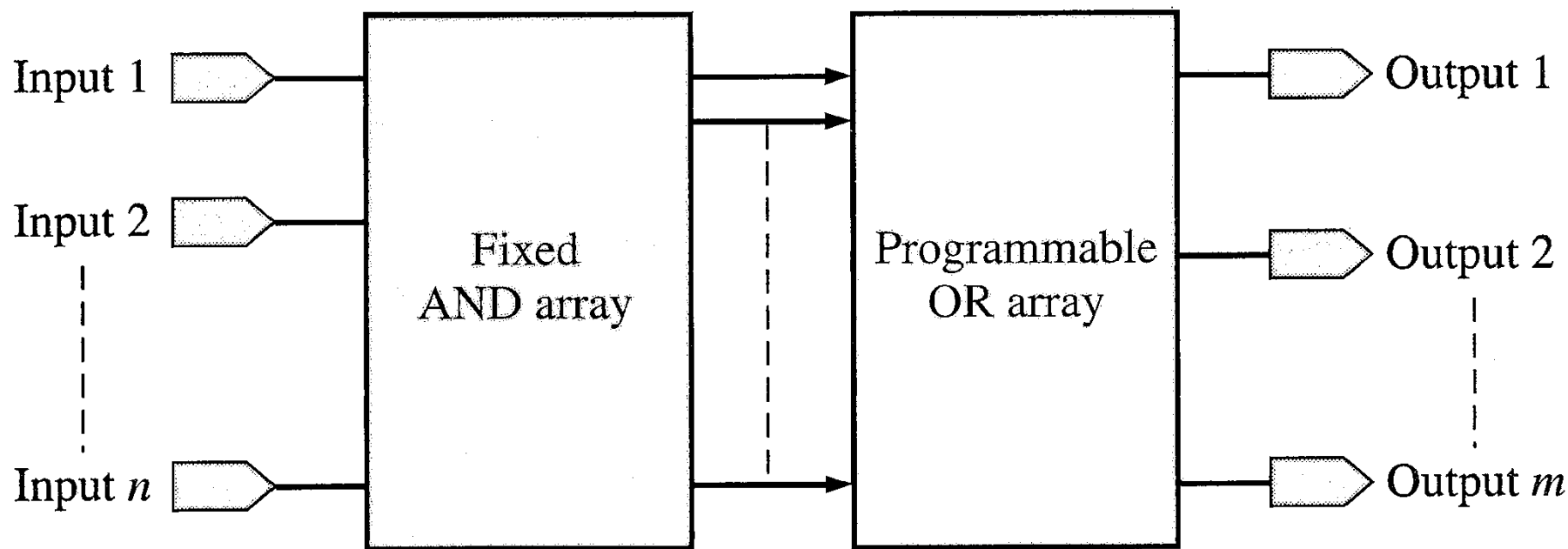
Fixní pole AND - dekodér



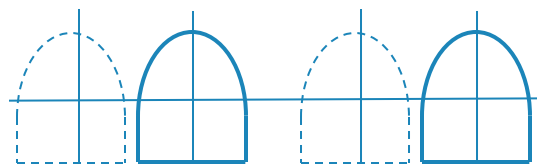
Programovatelné pole OR



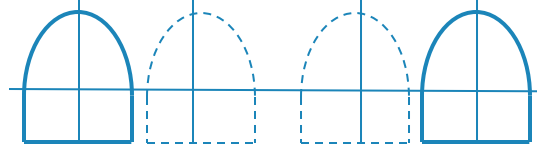
- Použití paměti ROM (PROM) pro realizaci log. funkcí
 - AND pole – dekodér adres
 - OR pole – data uložena v paměti
 - Díky fixnímu AND poli je využití omezeno, neboť pro funkce s více vstupy je třeba velkých kapacit paměti, což je drahé



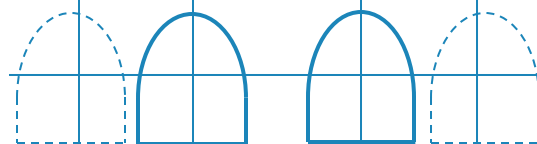
Programovatelné pole AND



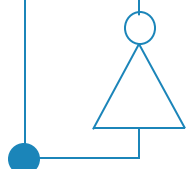
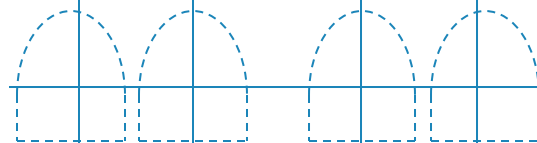
$$\text{not}(I_0) \cdot \text{not}(I_1)$$



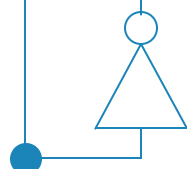
$$I_0 \cdot \text{not}(I_1)$$



$$\text{not}(I_0) \cdot I_1$$

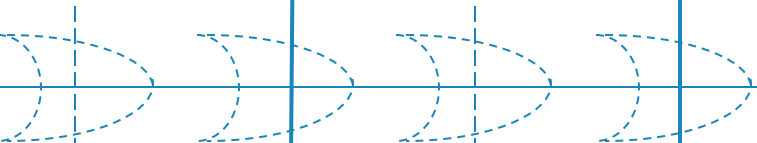
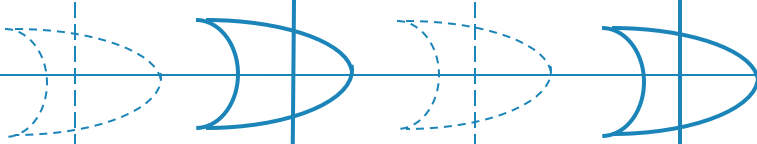
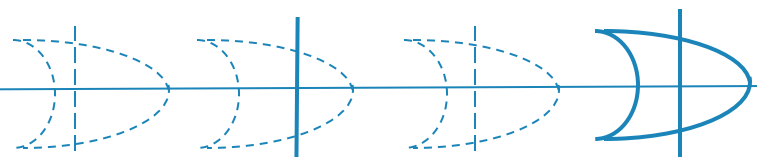


I_0



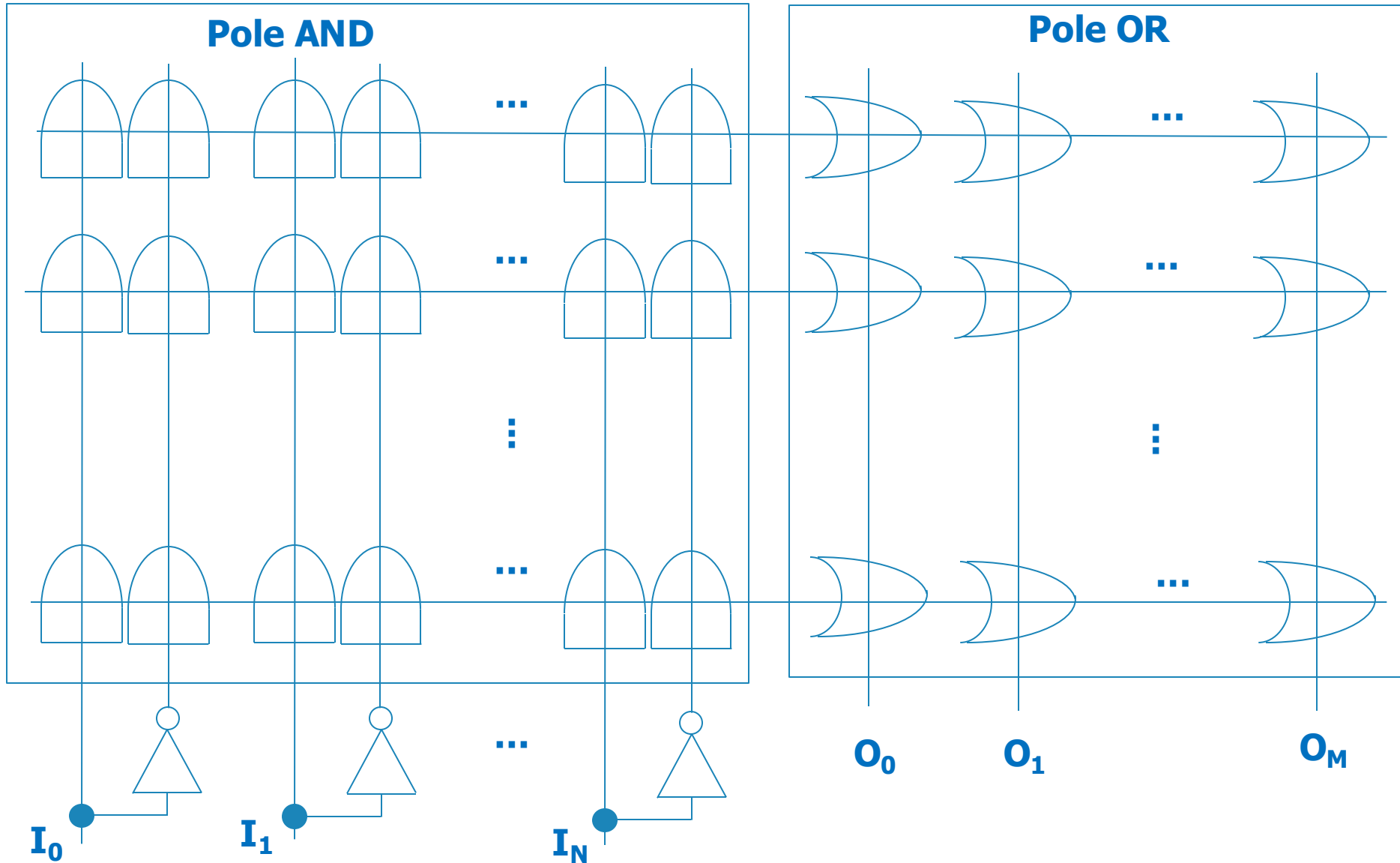
I_1

Programovatelné pole OR



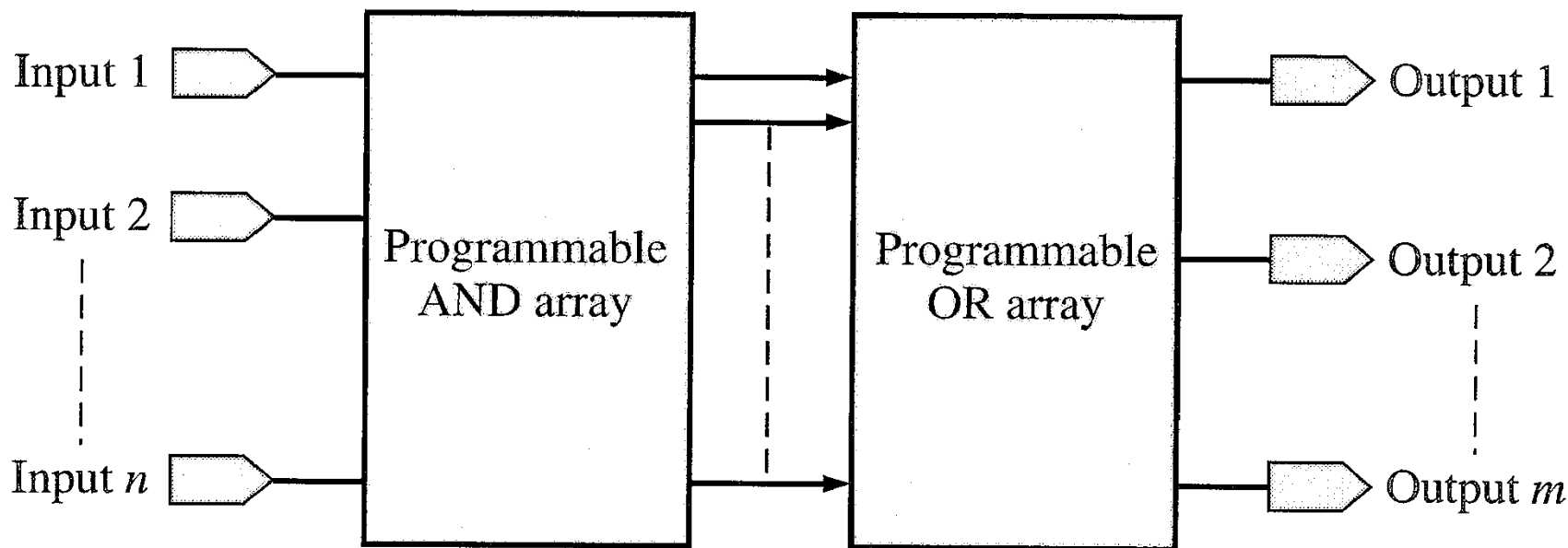
$$O_1 = I_0 \cdot \text{not}(I_1) + \text{not}(I_0) \cdot I_1$$

$$O_3 = \text{not}(I_0) \cdot \text{not}(I_1) + \text{not}(I_0) \cdot I_1$$

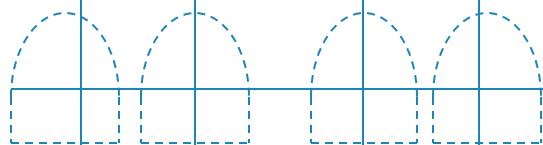
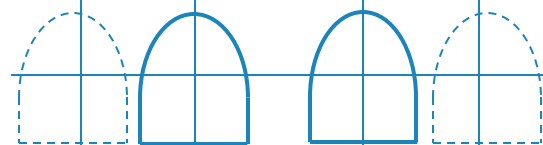
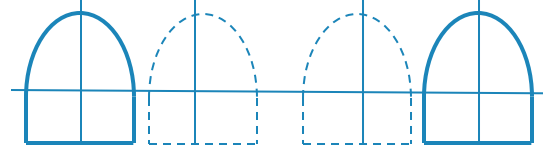
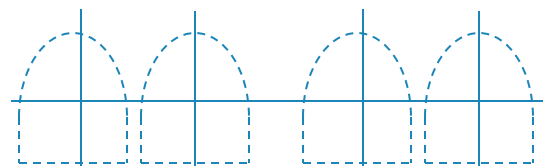


Duálně platí, že pole OR-AND implementuje součin sum (ÚNKF, POS)

- Programmable Logic Array (PLA)
 - Výhodou je skutečnost, že jsou obě pole plně programovatelná
 - Nevýhodou je větší zpoždění kvůli programovacím propojkám („pojistkám“) v obou polích, které mají větší zpoždění než vodiče a log. členy díky přechodovému odporu a parazitním kapacitám
 - Pomalé, drahé



Programovatelné pole AND



$$I_0 \cdot \text{not}(I_1)$$

$$\text{not}(I_0) \cdot I_1$$

Fixní pole OR

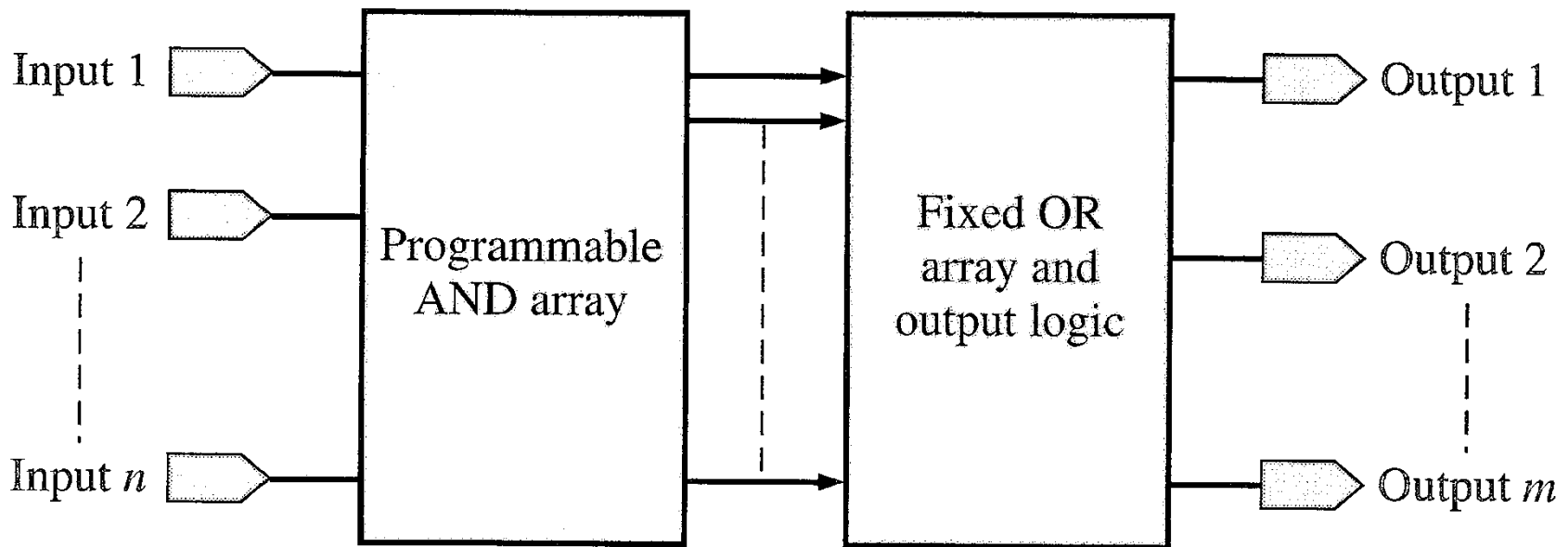


$$O = I_0 \cdot \text{not}(I_1) + \text{not}(I_0) \cdot I_1$$

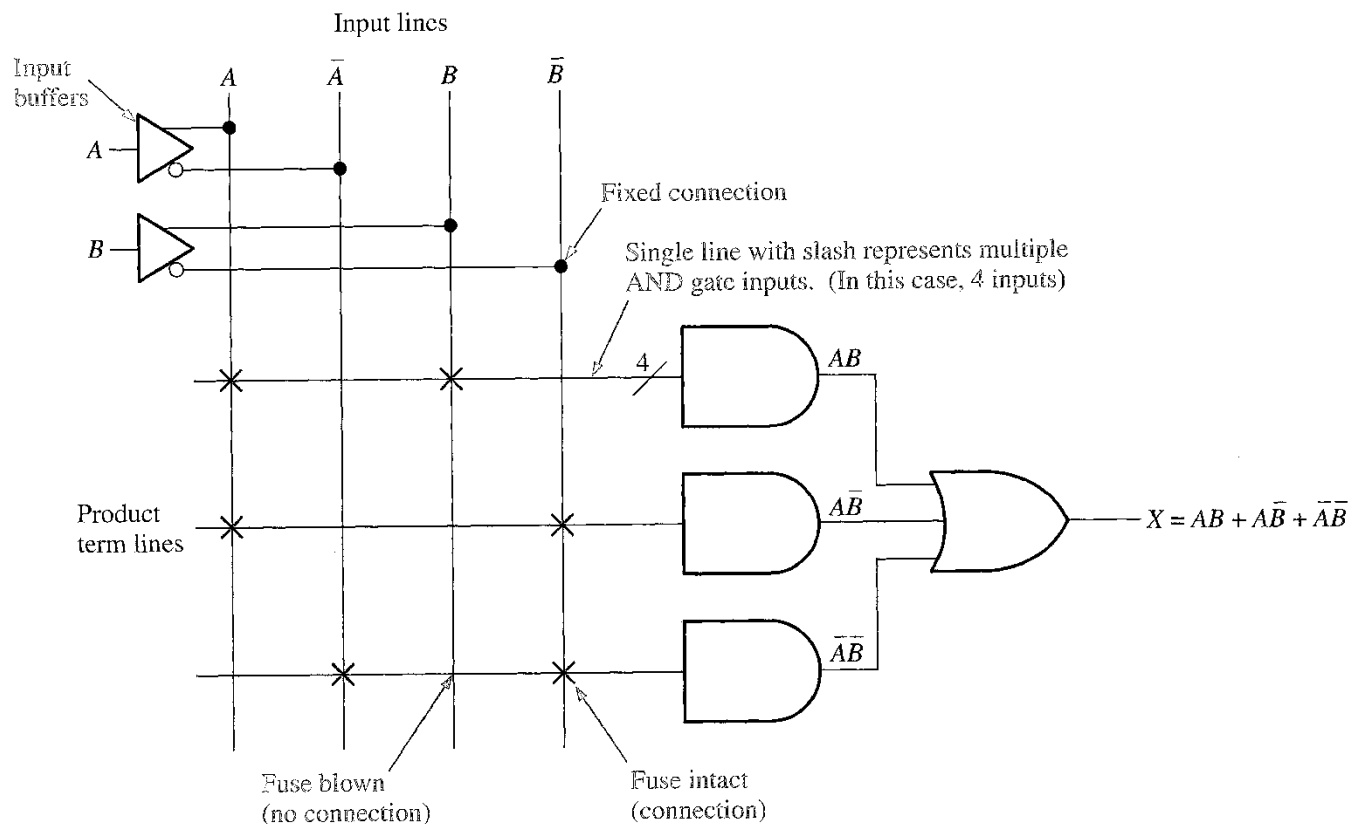
I_0

I_1

- Programmable Array Logic (PAL)
 - Pouze pole AND je programovatelné
 - Nemají omezení paměti PROM (díky programovatelnému poli AND)
 - Jsou rychlejší díky fixnímu poli OR bez propojek
 - Jsou levnější než PLA
 - Realizují disjunktní formu



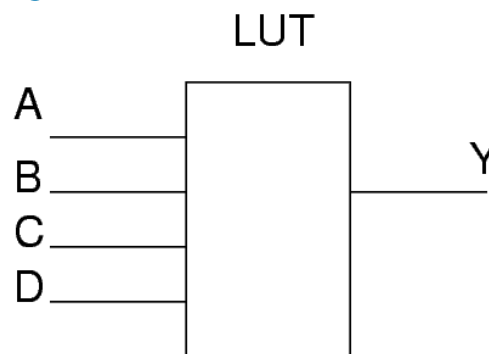
- Vnitřní struktura
 - Obsahuje též invertory pro každou vstupní proměnnou
 - Pro naše účely budeme místa, ve kterých propojky zůstanou, značit křížkem



- Look-Up Table (LUT)
 - Základní logické hradlo: N -bitový vstup, 1-bitový výstup
 - Realizuje libovolnou binární funkci N proměnných
- Technologie
 - Spartan3: $N=4$
 - Virtex UltraScale : $N=6$

- **Příklad:**

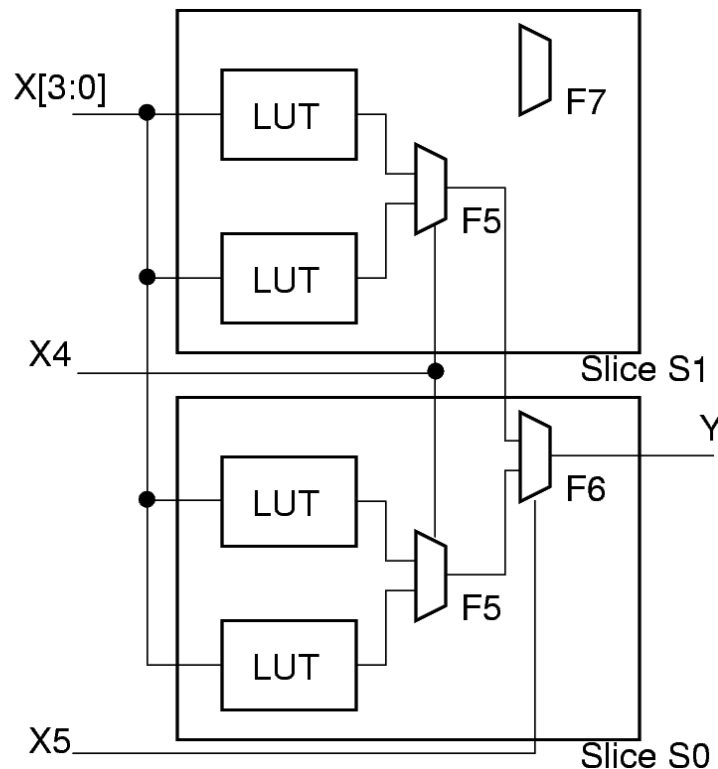
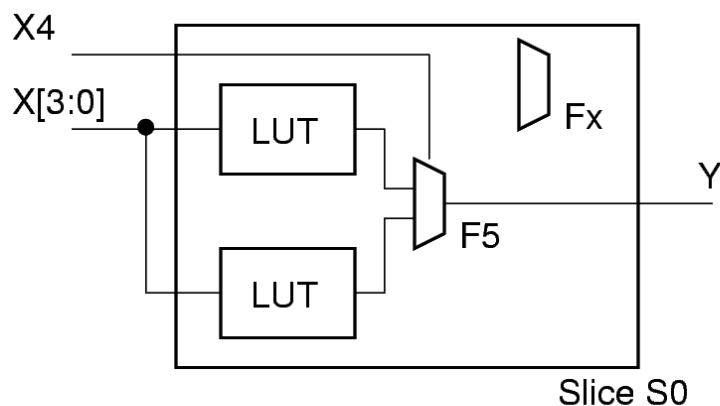
- 4-vstupé hradlo



$$F(A,B,C,D) = \bar{A}\bar{B}\bar{C}\bar{D} \text{ or } A\bar{B}\bar{C}\bar{D} \text{ or } \\ \bar{A}\bar{B}C\bar{D} \text{ or } ABCD$$

A	B	C	D	Y
0	0	0	0	0
0	0	0	1	1
0	0	1	0	0
0	0	1	1	0
0	1	0	0	0
0	1	0	1	0
0	1	1	0	0
0	1	1	1	0
1	0	0	0	0
1	0	0	1	1
1	0	1	0	1
1	0	1	1	0
1	1	0	0	0
1	1	0	1	0
1	1	1	0	0
1	1	1	1	1

- Pomocí multiplexerů **MUXF_x** lze jednoduše vytvářet složitější funkce
- **MUXF_x** je potom označován jako MUXF5, MUXF6, ...
- **Příklad:**
 - 4-vstupá hradla LUT

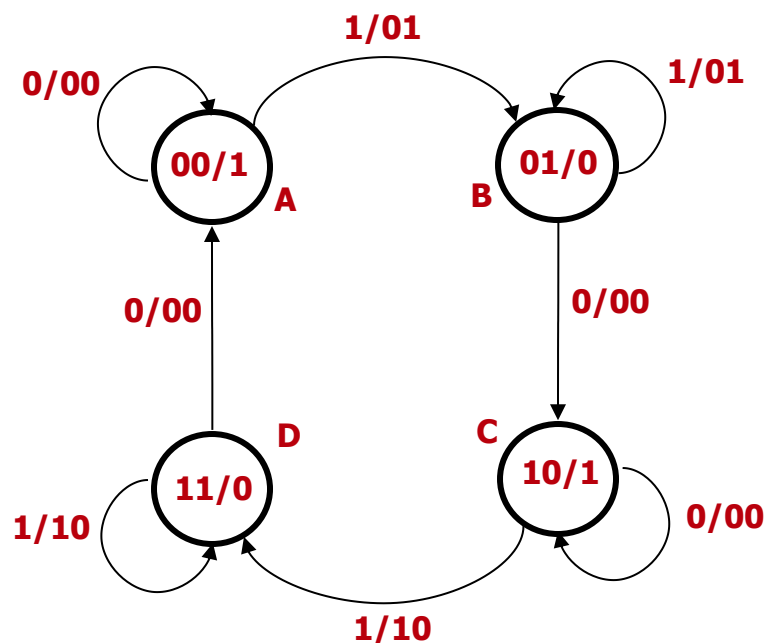


- Úvod
- Mapování na logické členy
- Mapování na kombinační moduly
- Mapování na programovatelná zařízení
- **Syntéza sekvenčních obvodů**

- Navrhněme řídicí obvod (konečný automat) robota, který bude fungovat následovně
 - Robot má dvě kolečka a umí se otáčet vlevo a vpravo
 - Výstup $z1=1$ – zatoč vlevo
 - Výstup $z2=1$ – zatoč vpravo
 - Výstupy $z1=0$ a $z2=0$ – robot jede dopředu
 - Robot má vpředu dotykový senzor, který generuje signál x následovně
 - Vstup $x=1$ – je detekována překážka
 - Vstup $x=0$ – žádná překážka není detekována
 - Robot má na střeše majáček
 - Výstup $m=1$ – svítí, pokud robot jede dopředu
 - Výstup $m=0$ – nesvítí, pokud robot zatáčí vlevo či vpravo
 - Jedno z možných „inteligentních“ chování robota – definice stavů řídicího automatu
 - Stav A – překážka není detekována, poslední zatočení bylo vlevo
 - Stav B – překážka detekována, zatoč vpravo
 - Stav C – překážka není detekována, poslední zatočení bylo vpravo
 - Stav D – překážka detekována, zatoč vlevo

- Graf přechodů
 - Lze nakreslit např. dle slovního popisu či tabulky přechodů
 - Ve stavech jsou uvedeny kódy stavu/hodnota Mooreova výstupu M - kód/M
 - Na hranách je uvedena hodnota vstupu X/hodnota Mealyho výstupů Z_1 a Z_2 - X/Z_1Z_2

Současný stav		Vstup X	Následující stav		Mealyho výstupy $Z_1 Z_2$	Mooreův výstup M
Název	Kód		Název	Kód		
A	00	0	A	00	00	1
A	00	1	B	01	01	1
B	01	0	C	10	00	0
B	01	1	B	01	01	0
C	10	0	C	10	00	1
C	10	1	D	11	10	1
D	11	0	A	00	00	0
D	11	1	D	11	10	0



- Opakování
 - Určuje požadované hodnoty na excitačních vstupech (S a R, J a K, D či T) klopného obvodu, které je třeba aplikovat, aby automat provedl požadovaný přechod ze současného stavu Q_i do následujícího stavu Q_{i+1}
 - Jedná se o naopak zapsané tabulky přechodů – pro dané hodnoty výstupů definujeme potřebné hodnoty vstupů

Q_i	Q_{i+1}	S	R	J	K	D	T
0	0	0	X	0	X	0	0
0	1	1	0	1	X	1	1
1	0	0	1	X	1	0	1
1	1	X	0	X	0	1	0

- Při návrhu (syntéze) sekvenčních automatů používáme excitační tabulky KO, neboť nás zajímají přechody mezi stavy automatu, na základě kterých definujeme hodnoty vstupů KO

- Určení rovnic pro excitační vstupy jednotlivých KO
 - Současný stav – Present State (PS)
 - Hodnota vstupu – X
 - Následující stav – Next State (NS)
- Doplníme hodnoty pro všechny excitační vstupy jednotlivých KO

Q_i	Q_{i+1}	S	R	J	K	D	T
0	0	0	X	0	X	0	0
0	1	1	0	1	X	1	1
1	0	0	1	X	1	0	1
1	1	X	0	X	0	1	0

souč. stav		vstup	násl. stav		vstupy S-R				vstupy J-K				vstupy D		vstupy T		výstupy		
PS1	PS0	X	NS1	NS0	S1	R1	S0	R0	J1	K1	J0	K0	D1	D0	T1	T0	M	Z1	Z2
0	0	0	0	0	0	X	0	X	0	X	0	X	0	0	0	0	1	0	0
0	0	1	0	1	0	X	1	0	0	X	1	X	0	1	0	1	1	0	1
0	1	0	1	0	1	0	0	1	1	X	X	1	1	0	1	1	0	0	0
0	1	1	0	1	0	X	X	0	0	X	X	0	0	1	0	0	0	0	1
1	0	0	1	0	X	0	0	X	X	0	0	X	1	0	0	0	1	0	0
1	0	1	1	1	X	0	1	0	X	0	1	X	1	1	0	1	1	1	0
1	1	0	1	1	X	0	X	0	X	0	X	0	1	1	0	0	0	0	0
1	1	1	0	0	0	1	0	1	X	1	X	1	0	0	1	1	0	1	0

- Nalezneme rovnice pro excitační vstupy jednotlivých KO, např. pomocí Karnaughovy mapy
 - Pro jednotlivé excitační vstupy D0 a D1 KO
 - Pro jednotlivé výstupy Z1, Z2 a M

$$M = \overline{PS0}$$

- Řešení pro KO D

D0

			PS0	
	0	0	1	0
x	1	1	0	1
			PS1	

$$D0 = X \cdot \overline{PS0} + \overline{X} \cdot PS0 \cdot PS1 + X \cdot PS0 \cdot \overline{PS1}$$

Z1

			PS0	
	0	0	0	0
x	0	1	1	0
			PS1	

$$Z1 = X \cdot PS1$$

D1

			PS0	
	0	1	1	1
x	0	1	0	0
			PS1	

$$D1 = \overline{PS0} \cdot PS1 + \overline{X} \cdot PS0$$

Z2

			PS0	
	0	0	0	0
x	1	0	0	1
			PS1	

$$Z2 = \overline{PS1} \cdot X$$

- Řešení pro KO J-K

J0

			PS0	
	1	0	X	X
x	0	1	X	X
			PS1	

$$J0 = X \cdot PS1 + \bar{X} \cdot \bar{PS1}$$

K0

			PS0	
	X	X	0	1
x	X	X	1	0
			PS1	

$$K0 = X \cdot PS1 + \bar{X} \cdot \bar{PS1}$$

$$M = \bar{PS0}$$

$$Z1 = X \cdot PS1$$

$$Z2 = \bar{PS1} \cdot X$$

J1

			PS0	
	0	X	X	1
x	0	X	X	0
			PS1	

$$J1 = \bar{X} \cdot PS0$$

K1

			PS0	
	X	0	0	X
x	X	0	1	X
			PS1	

$$K1 = X \cdot PS0$$

- Řešení pro KO J-K – schéma

$$J0 = X \cdot PS1 + \overline{X} \cdot \overline{PS1}$$

$$K0 = X \cdot PS1 + \overline{X} \cdot \overline{PS1}$$

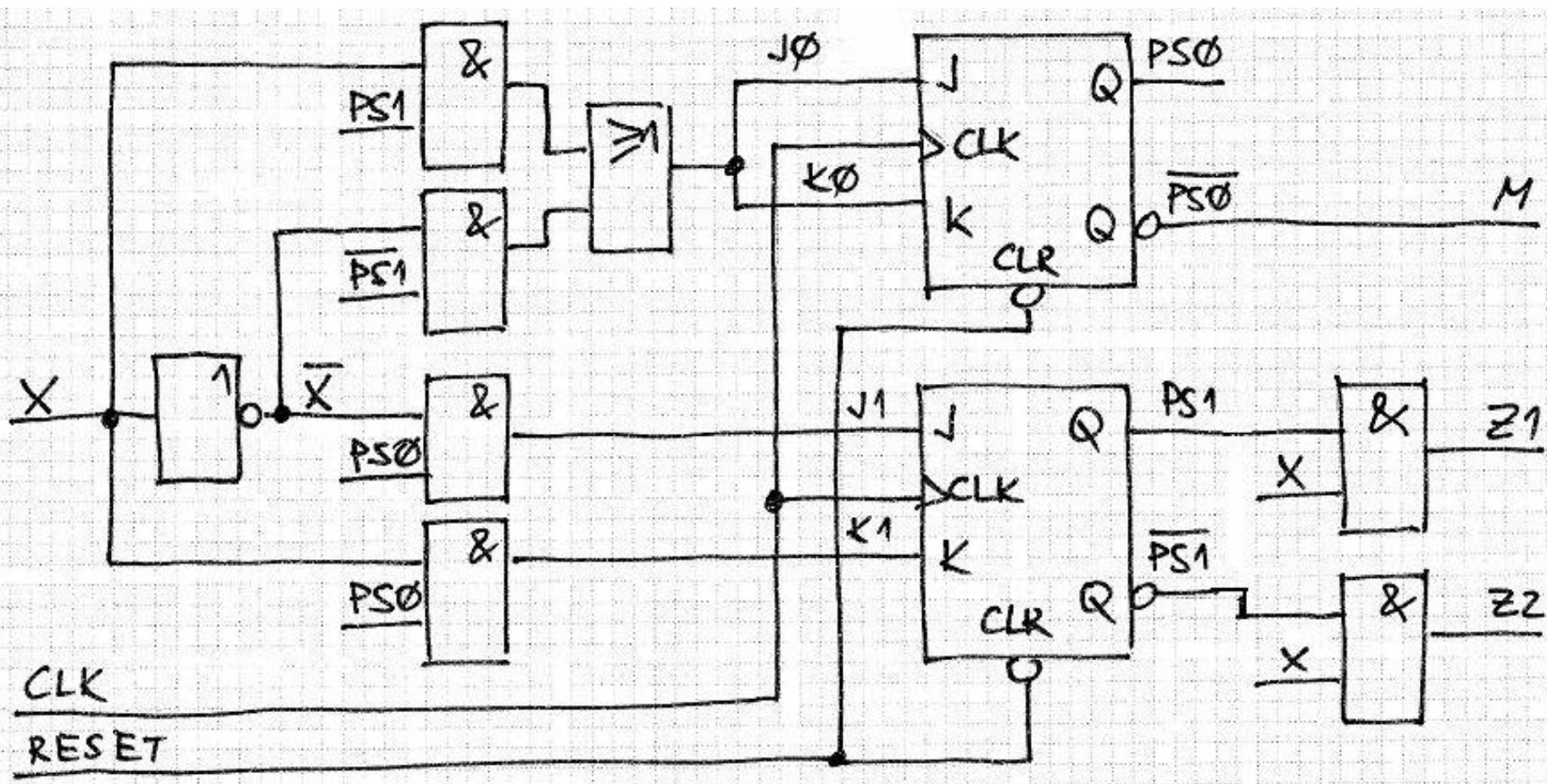
$$M = \overline{PS0}$$

$$Z1 = X \cdot PS1$$

$$J1 = \overline{X} \cdot PS0$$

$$K1 = X \cdot PS0$$

$$Z2 = \overline{PS1} \cdot X$$



- Řešení pro KO R-S

				PS0
S0				
	1	0	X	0
x	0	1	0	X
				PS1

$$S0 = X \cdot \overline{PS0} \cdot PS1 + \overline{X} \cdot \overline{PS0} \cdot \overline{PS1}$$

				PS0
R0				
	X	X	0	1
x	0	0	1	0
				PS1

$$R0 = \overline{X} \cdot \overline{PS1} + X \cdot PS0 \cdot PS1$$

$$M = \overline{PS0}$$

$$Z1 = X \cdot PS1$$

$$Z2 = \overline{PS1} \cdot X$$

				PS0
S1				
	0	X	X	1
x	0	X	0	0
				PS1

$$S1 = \overline{X} \cdot PS0$$

				PS0
R1				
	X	0	0	0
x	X	0	1	X
				PS1

$$R1 = X \cdot PS0$$

- Řešení pro KO T

				PS0
	0	0	0	1
x	1	1	1	0
				PS1

$$T0 = X \cdot \overline{PS0} + X \cdot PS1 + \overline{X} \cdot PS0 \cdot \overline{PS1}$$

$$M = \overline{PS0}$$

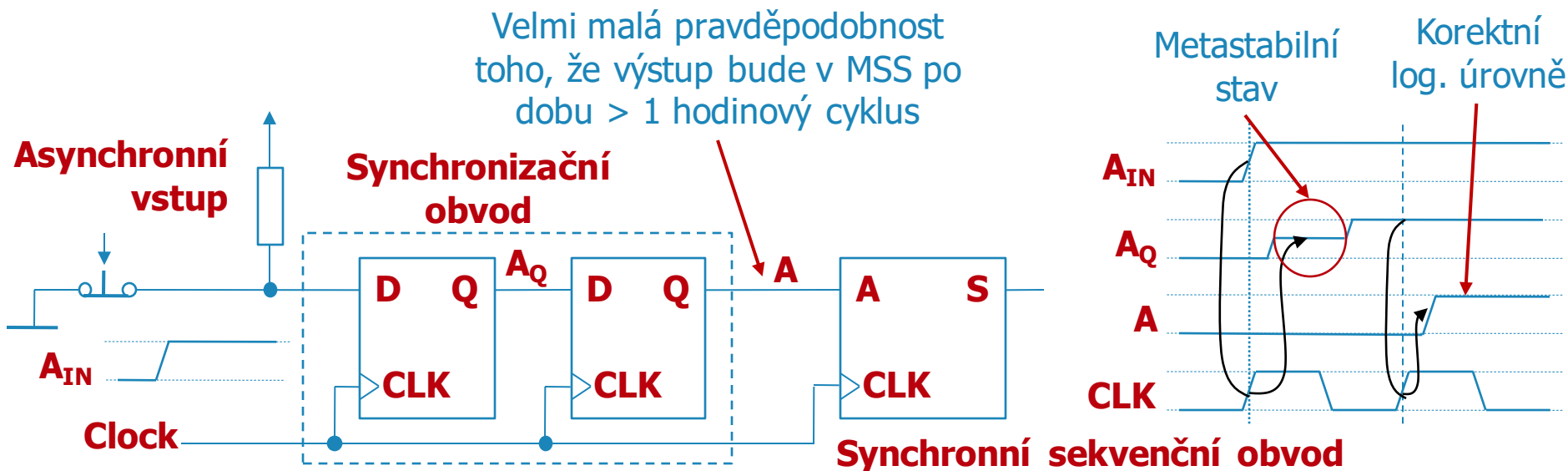
$$Z1 = X \cdot PS1$$

$$Z2 = \overline{PS1} \cdot X$$

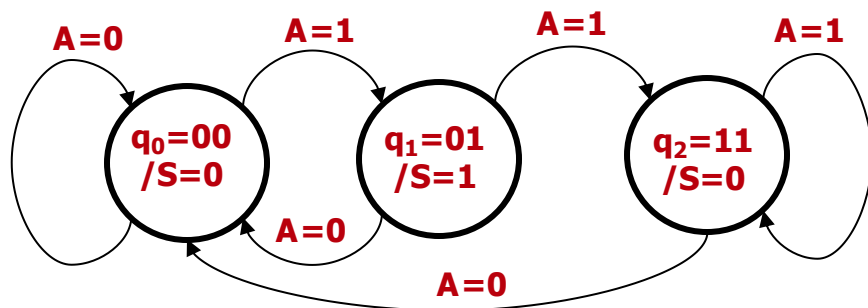
				PS0
	0	0	0	1
x	0	0	1	0
				PS1

$$T1 = X \cdot PS0 \cdot PS1 + \overline{X} \cdot PS0 \cdot \overline{PS1}$$

- Synchronizační obvod
 - Omezuje pravděpodobnost toho, že se metastabilní stav projeví na vstupu synchronního automatu
 - Výstupem je zasynchronizovaná vstupní asynchronní událost
 - Vstupní událost je zpožděna o 2 takty hodinového signálu
- Synchronní obvod
 - Konečný automat detekující kladnou hranu
 - Zkusíme implementovat jako Mooreův i Mealyho konečný automat



- Varianta 1: Mooreův konečný automat
 - Kódování stavů je výhodné volit tak, aby byla implementace co nejjednodušší



Současný stav PS		Vstup A	Následující stav NS		Výstup Mealy	Výstup Moore S
Název	Kód Q1,Q0		Název	Kód D1,D0		
q ₀	00	0	q ₀	00	-	0
q ₀	00	1	q ₁	01	-	0
q ₁	01	0	q ₀	00	-	1
q ₁	01	1	q ₂	11	-	1
q ₂	11	0	q ₀	00	-	0
q ₂	11	1	q ₂	11	-	0

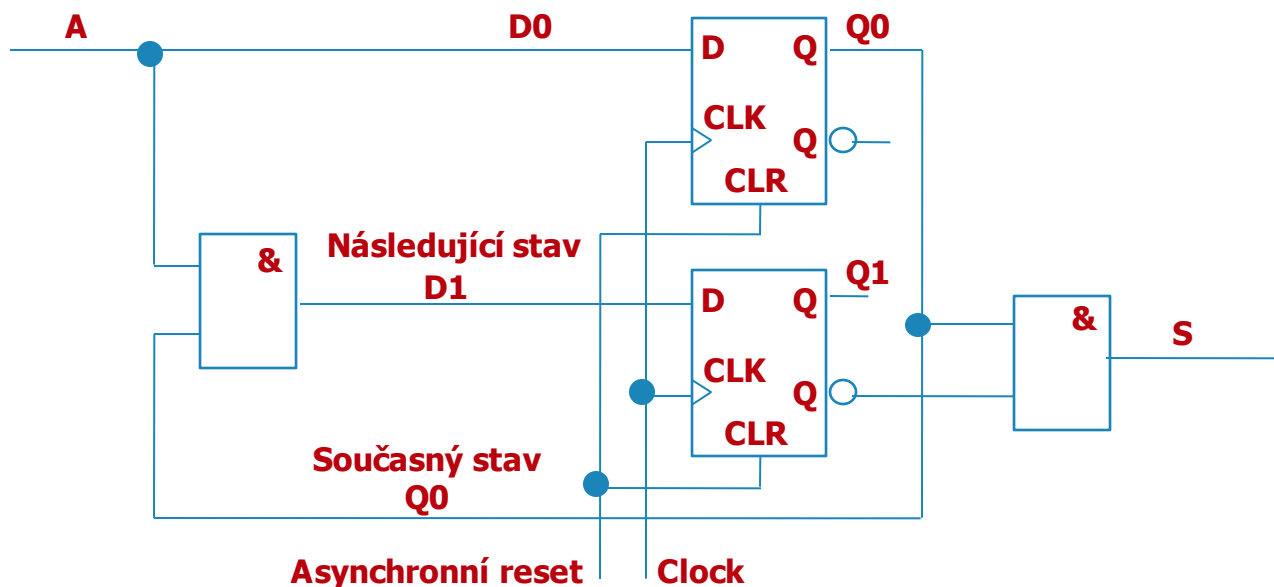
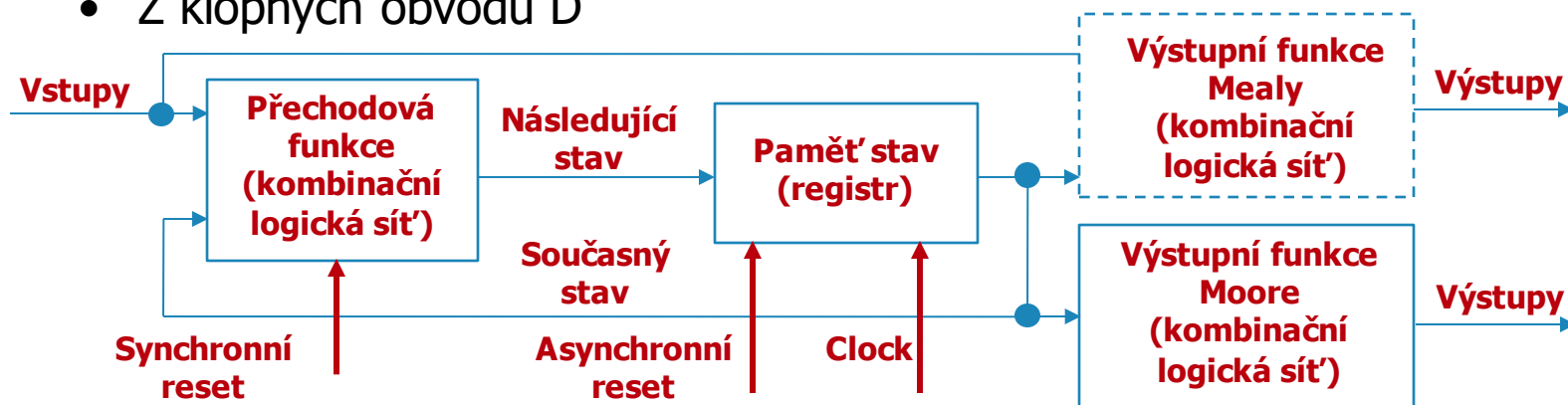
Následující stav D1		Současný stav Q1,Q0			
		00	01	11	10
A	0	0	0	0	X
	1	0	1	1	X

Následující stav D0		Současný stav Q1,Q0			
		00	01	11	10
A	0	0	0	0	X
	1	1	1	1	X

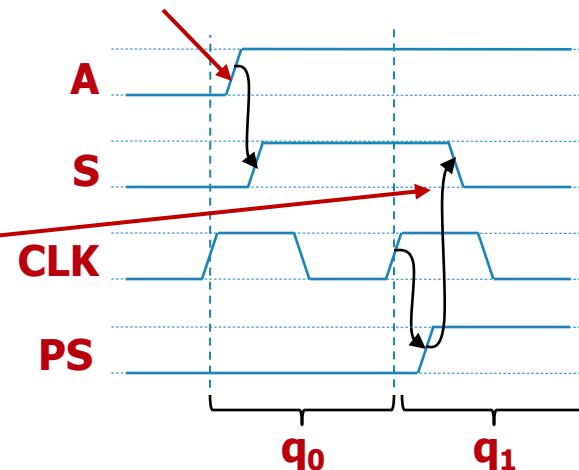
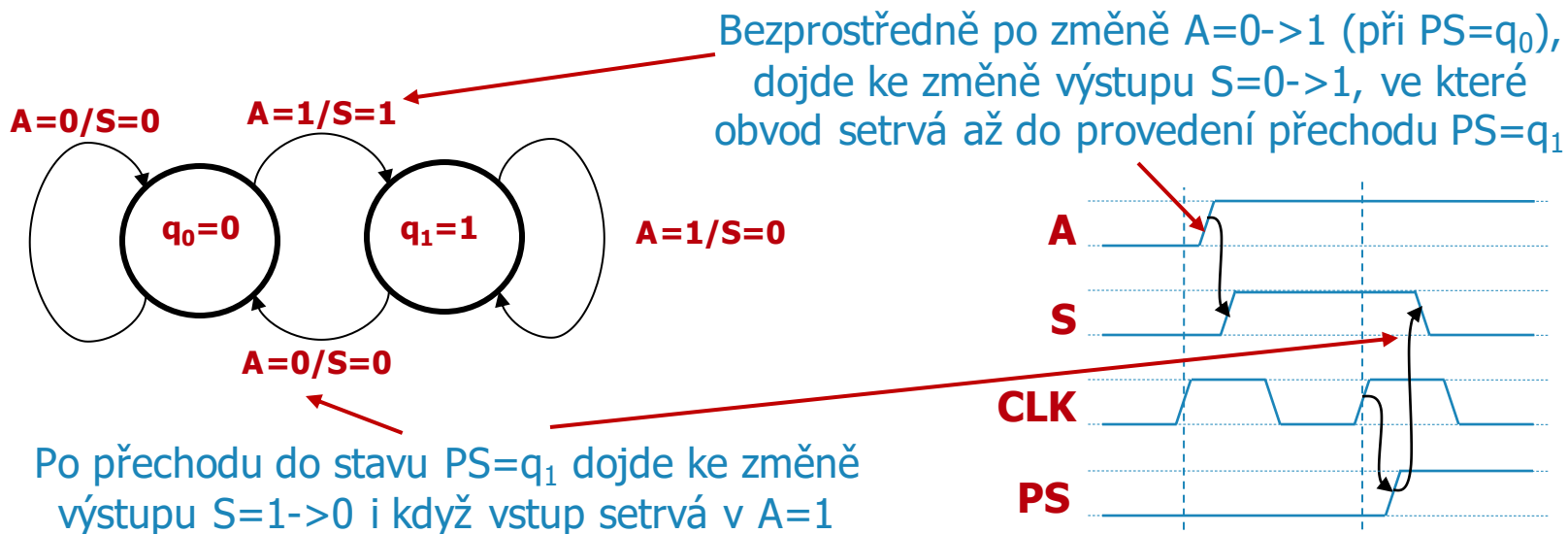
Mooreův výstup S		Současný stav Q1	
		0	1
Současný stav Q0	0	0	X
	1	1	0

$$D1 = A \cdot Q0 \quad D0 = A \quad S = \overline{Q1} \cdot Q0$$

- Synchronní sekvenční obvod
 - Z klopných obvodů D



- Varianta 2: Mealyho konečný automat
 - Mealyho automat může mít méně stavů než Mooreův



Současný stav PS		Vstup A	Následující stav NS		Výstup Mealy S	Výstup Moore
Název	Kód Q0		Název	Kód D0		
q_0	0	0	q_0	0	0	-
q_0	0	1	q_1	1	1	-
q_1	1	0	q_0	0	0	-
q_1	1	1	q_1	1	0	-

Mealyho výstup S		Vstup A	
		0	1
Současný stav Q0	0	0	1
	1	0	0

$$D0 = A \quad S = A \cdot \overline{Q0}$$

- Synchronní sekvenční obvod
 - Z klopných obvodů D

